



โครงการวิจัยทางเภสัชศาสตร์

เรื่อง

การพัฒนาตัวรับยาทีโอฟิลลีนในรูปแบบแผ่นพิมพ์ละลายในช่องปาก

ด้วยเทคนิคการพิมพ์แบบสองมิติ

Development of theophylline orodispersible film fabricated by 2D printing

technique

โดย

นสภ. พัตราพร สติรพันธุ์ รหัส 55210065

นสภ. ภาณุวรรณ์ มีระศักดิ์สิงห์ รหัส 55210072

นสภ. ศุภณัฐ ตรีเวชวินิจ รหัส 55210082

โครงการวิจัยทางเภสัชศาสตร์ฉบับนี้เป็นส่วนหนึ่งของการศึกษาตามหลักสูตร

ปริญญาบัณฑิต

ปีการศึกษา 2559

คณะเภสัชศาสตร์ มหาวิทยาลัยบูรพา

โครงการวิจัยทางเภสัชศาสตร์

เรื่อง

การพัฒนาตารับยาทีโอฟิลลีนในรูปแบบแผ่นฟิล์มละลายในช่องปาก ด้วยเทคนิคการพิมพ์แบบสองมิติ

Development of theophylline orodispersible film fabricated by 2D printing
technique

โดย

นสภ. พัตราพร สติรพันธุ์	รหัส 55210065
นสภ. ภาณุวัฒน์ มีระศักดิ์สิงห์	รหัส 55210072
นสภ. ศุภณัฐ ตรีเวชวินิจ	รหัส 55210082

โครงการวิจัยทางเภสัชศาสตร์ฉบับนี้เป็นส่วนหนึ่งของการศึกษาตามหลักสูตร
ปริญญาบัณฑิต
ปีการศึกษา 2559

คณะเภสัชศาสตร์ มหาวิทยาลัยบูรพา

คำนำ

เทคโนโลยีการพิมพ์ยา (Printing medicine) เป็นเทคโนโลยีหนึ่งที่สามารถกำหนดขนาดยาในตัวรับได้อย่างแม่นยำทำให้ได้ขนาดยาที่มีความเหมาะสมสำหรับผู้ป่วยแต่ละบุคคล (Personalized medicine) โดยผลิตภัณฑ์นี้มีอยู่ด้วยกันหลายรูปแบบหนึ่งในนั้นคือแผ่นฟิล์มละลายในช่องปาก (Orodispersible film) เป็นรูปแบบของตัวรับที่ได้รับความนิยมรูปแบบหนึ่งที่ได้จากเทคโนโลยีนี้ โดยจากคุณสมบัติของแผ่นฟิล์มทำให้มีความคงตัวและพกพาสะดวกมากกว่าตัวรับยาน้ำ มีความสะดวกในการใช้งานกว่ายาเม็ด ตัวรับแผ่นฟิล์มที่ดีจะต้องละลายในปากได้อย่างรวดเร็ว มีความยืดหยุ่น และไม่นิ่มเหลวจนเกินไป คุณสมบัติเหล่านี้ขึ้นอยู่กับพอลิเมอร์ ที่ใช้เป็นแผ่นฐานรอง (Substrate) ในการทำเป็นแผ่นฟิล์ม ปัจจุบันพอลิเมอร์จากธรรมชาติถูกนำมาประยุกต์ใช้ในทางอุสาหกรรมมากขึ้น ซึ่งมีการศึกษาการนำกัมจากเมล็ดพืชหลายชนิดมาทำเป็นแผ่นฟิล์ม ได้แก่ มะขาม หางนกยูงผึ้ง คุน เมล็ดกระถิน มะรุม กระเจีຍบ เป็นต้น เนื่องจากสารละลายกัมที่มีความเข้มข้นเหมาะสมสามารถสร้างแผ่นฟิล์มที่มีความปลดปล่อยสูง ต้นทุนในการผลิตต่ำอีกด้วย ในประเทศไทยมีวัตถุดิบดังกล่าวเป็นจำนวนมาก และจัดได้ว่าเมล็ดพืชพอกนี้เป็นขยายทางอุสาหกรรม การนำวัตถุดิบเหล่านี้มาประยุกต์ใช้จะเป็นการเพิ่มมูลค่าของวัตถุดิบเหล่านี้ได้

การทดลองนี้มีวัตถุประสงค์เพื่อค้นคว้าหาสภาวะที่เหมาะสมในการเตรียมแผ่นฟิล์มละลายในช่องปากที่ใช้เทคโนโลยีการพิมพ์สองมิติเพื่อในการบรรจุยาตันแบบสำหรับผู้ป่วยเฉพาะรายต่อไปในอนาคต

คณะกรรมการ

นสภ. พัตราพร สติรพันธ์	รหัส 55210065
นสภ. ภาณุวรรณ์ ჩีระศักดิ์สิงห์	รหัส 55210072
นสภ. ศุภณัฐ ตีร์เวชวินิจ	รหัส 55210082

โครงงานวิจัยทางเภสัชศาสตร์

เรื่อง การพัฒนาตัวรับยาที่โอมิลลีนในรูปแบบแผ่นฟิล์มละลายในร่องปากด้วยเทคนิคการพิมพ์แบบ 2 มิติ

ผู้จัดทำโครงงานวิจัยทางเภสัชศาสตร์

- | | |
|-----------------------------------|---------------|
| 1. นสภ. พัตราพร สุธิรพันธุ์ | รหัส 55210065 |
| 2. นสภ. ภาณุวรรณ์ วีระศักดิ์สิงห์ | รหัส 55210072 |
| 3. นสภ. ศุภณัฐ ตรีเวชวินิจ | รหัส 55210082 |

อาจารย์ที่ปรึกษาโครงงานวิจัยทางเภสัชศาสตร์

- | | |
|--------------------------------------|---|
| 1. ภก. อ. ผศ. ดร. กัมปนาท หวานบุตรตา | |
| 2. ภญ. อ. ชนิกานต์ แสงนิม | |
| 3. ภก. อ. ดร. ยศนันท์ วีระพล | |
| 4. วศ. ดร. วันเข็ง | สิทธิกิจไยธิน (ภาควิชาชีวศึกษาและเคมี คณะวิศวกรรมศาสตร์ มหาวิทยาลัยบูรพา) |
-

บทคัดย่อ

เทคโนโลยีการพิมพ์ยา (Medicine printing) เป็นหนึ่งในเทคโนโลยีที่ถูกนำมาประยุกต์ใช้เตรียมเภสัชภัณฑ์ที่มีความแม่นยำในการกำหนดขนาดของยาด้วยโปรแกรมจากคอมพิวเตอร์ ผู้วิจัยจึงมีความสนใจที่จะนำเทคโนโลยีมาประยุกต์ใช้ในการพัฒนาตัวรับแผ่นฟิล์มแตกตัวในปาก โดยเลือกใช้กัม (gum) จากเมล็ดมะขาม (Tamarindus Indica Linn.) เป็นสารก่อฟิล์ม ซอร์บิทอล (Sorbitol) เป็นสารเพิ่มความยืดหยุ่นของฟิล์ม (Plasticizer) และใช้ที่โอมิลลีน (Theophylline) ซึ่งเป็นยาตันแบบพิมพ์ลงบนแผ่นฟิล์ม จากการทดลองคุณสมบัติเชิงกลของแผ่นฟิล์มพบว่าเมื่อเพิ่มปริมาณซอร์บิทอลทำให้แผ่นฟิล์มสามารถหักโค้งได้มากขึ้น มีความเหนียวมากขึ้น แต่เมื่อเพิ่มปริมาณกัมพบว่าหักงอได้น้อยลง ความเหนียวลดลง โดยปริมาณของกัมและซอร์บิทอลที่เหมาะสมคือร้อยละ 3.5 โดยน้ำหนัก 97:3 ซอร์บิทอล จากผลการทดลอง FTIR พบว่ายาที่โอมิลลีนและกัมไม่มีการเปลี่ยนแปลงโครงสร้างและไม่เกิดปฏิกิริยาต่อกันหลังจากผ่านการพิมพ์ การทดลองหาปริมาณยาที่พิมพ์ลงฟิล์มพบว่าเทคโนโลยีการพิมพ์ยานั้นมีความแม่นยำในการพิมพ์และสามารถทำการพิมพ์ยาข้ามบริเวณเดิมได้เพื่อเพิ่มปริมาณยา แผ่นฟิล์มกัมที่พิมพ์ยาสามารถปลดปล่อยยาเกินร้อยละ 80 ของปริมาณยาที่ปลดปล่อยทั้งหมดใน 3 นาทีแรก จากงานผลการศึกษาวิจัยแสดงให้เห็นถึงความเป็นไปได้ในการประยุกต์ใช้กัมจากมะขามสร้างแผ่นฟิล์มละลายในปากเพื่อใช้พิมพ์ยาในรูปแบบสองมิติ

อาจารย์ที่ปรึกษาหลัก.....

Senior Project : Development of theophylline orodispersible film fabricated by 2D printing technique

By

- | | | | |
|----|------------------------------|----|----------|
| 1. | Miss. Phattraporn Sthiraphan | ID | 55210065 |
| 2. | Mr. Panuwat Teerasaksopon | ID | 55210072 |
| 3. | Mr. Supanut Treewechvinit | ID | 55210082 |

Advisor :

1. Assist.Prof. Kampanart Huanbutta, Ph.D
 2. Tanikan Sangnim
 3. Yotsanan Weerapol, Ph.D
 4. Assoc.Prof. Wancheng Sittikijyothin, Ph.D (Department of Chemical Engineering, Faculty of Engineering, Burapha University)
-

ABSTRACT

Medicine printing is one of the technologies which has been applied to prepare the pharmaceutical product. This precise technology can scale the size of medicine. Therefore, researchers are interested in this technology to develop the orodispersible film. In this study, seed gum from *Tamarindus Indica* Linn was selected to use as film former and sorbitol was used for plasticizing purpose. Theophylline was chosen as a printed model drug. The results of the film mechanical properties indicated that increasing of sorbitol enhanced film flexibility. On the other hand, increasing gum portion leaded to tough and stress film. The proper amount of gum and sorbitol to prepare film is 3.5 % w/w Gum and 97:3 sorbitol. The FTIR result revealed that there was no interaction between theophylline and gum after printing process. Drug loading study expressed that printing technology is very precise since the loaded drug on films accurately increased when the drug printing was repeated. Moreover, the *in vitro* drug release from the drug printed film reached 80% of total drug release within 3 minutes. In conclusion, these results showed that the gum from tamarind seed shine possibility of the gum film application to be potential printing substrate for the 2D printing technology.

Major Advisor.....

กิตติกรรมประกาศ

โครงการวิจัยทางเภสัชศาสตร์ฉบับนี้สำเร็จลุล่วงไปด้วยดี เนื่องจากได้รับความกรุณา จาก
เภสัชกรผู้ช่วยศาสตราจารย์ ดร. กัมปนาท หวานบุตรดา และเภสัชกรหญิง อาจารย์ ชนิกานต์ แสงนิม
และรองศาสตราจารย์ ดร. วันเชิง สิทธิกิจโยธิน และเภสัชกร อาจารย์ ดร. ยศนันท์ วีระพล ซึ่งเป็น⁺
อาจารย์ที่ปรึกษาโครงการวิจัยโดยให้คำปรึกษาและข้อเสนอแนะตลอดระยะเวลาการทำโครงการวิจัย
ครั้งนี้ จึงขอกราบขอบพระคุณท่านอาจารย์ทั้งสี่ท่านเป็นอย่างสูง

ผู้จัดทำโครงการวิจัยขอขอบคุณคณะกรรมการเภสัชศาสตร์ที่ให้ทุนสนับสนุนโครงการวิจัย ให้สามารถ
ดำเนินงานวิจัยได้อย่างสะดวกและให้ความเอื้อเฟื้อในการใช้อุปกรณ์ เครื่องมือและสารเคมี ในการทำ
โครงการวิจัยในครั้งนี้

คณะผู้วิจัย

นสภ. พัตราพร สถาพันธ์	รหัส 55210065
-----------------------	---------------

นสภ. ภาณุวรรณ์ ธีระศักดิ์igon	รหัส 55210072
-------------------------------	---------------

นสภ. ศุภณัฐ ตวีเวชวินิจ	รหัส 55210082
-------------------------	---------------

14 ธันวาคม 2559

สารบัญ

ปกใน	ก
คำนำ	๑
บทคัดย่อภาษาไทย.....	๑
บทคัดย่อภาษาอังกฤษ.....	๑
กิตติกรรมประกาศ	๑
บทที่ 1 บทนำ	
ความเป็นมาและความสำคัญของปั้นหา	1
วัสดุประสงค์.....	2
กรอบแนวคิดการวิจัย	3
สมมติฐานการวิจัย.....	3
ขอบเขตของการวิจัยข้อมูลของตัวอย่าง	3
ข้อจำกัดในการวิจัย	4
ประโยชน์ที่คาดว่าจะได้รับ	4
นิยามศัพท์	4
บทที่ 2 วรรณกรรมที่เกี่ยวข้อง	
2.1 การพิมพ์ยา (Printing medicines)	6
2.2 แผ่นฟิล์มละลายในช่องปาก (Oro-dispersible films)	7

2.2.1. การหล่อ	8
2.2.2 การหลอม.....	9
2.2.3. การกลึง.....	10
2.3 กัมจากเนล็ดมะขาม	11
2.4 สารเสริมสภาพพลาสติก (Plasticizer)	14
2.4.1 สารเสริมสภาพพลาสติกภายใน (Internal plasticizer)	15
2.4.2 สารเสริมสภาพพลาสติกภายนอก (External plasticizer).....	15
2.5 ยาทีโอลีน(Theophylline)	16
2.6 เทคนิคการพิมพ์แบบฉีดหมึก (Ink-jet printing)	18
2.6.1 การพิมพ์ที่ใช้ระบบพ่นหมึกอย่างต่อเนื่อง (Continuous ink-jet printing).....	19
2.6.2 การพิมพ์ที่ใช้ระบบพ่นหมึกตามสั่ง (Drop-on-demand printing).....	21
บทที่ 3 วิธีดำเนินงานวิจัย	
3.1 อุปกรณ์และสารเคมี	25
3.1.1 สารเคมี	25
3.1.2 อุปกรณ์และเครื่องมือ	26
3.2 วิธีการทดลอง	27
3.2.1 การเตรียมผงกัมดิบ	27
3.2.2 การเตรียมสารละลายยาทีโอลีนสำหรับเป็นหมึกพิมพ์ (Ink preparation).....	28
3.2.3 การเตรียมแผ่นพิล์ม.....	29

3.2.4 การพิมพ์ยา	30
3.2.5 การประเมินคุณสมบัติของแผ่นฟิล์มละลายในช่องปาก.....	31
บทที่ 4 ผลการวิจัย	
4.1 ผลการวัดคุณสมบัติเชิงกลของแผ่นฟิล์ม	38
4.2 ผลคุณสมบัติทางเคมีและกายภาพ	41
4.2.1 การวิเคราะห์ลักษณะสัณฐานของแผ่นฟิล์มละลายในช่องปากโดยกล้องจุลทรรศน์ อิเล็กtronแบบส่องกราด (Scanning Electron Microscope : SEM)	41
4.2.2 โครงสร้างของผ้าใบโมเลกุลยาบนแผ่นฟิล์มโดยใช้เครื่องทดสอบการเลี้ยวเบนของรังสีเอกซ์ แบบผง (Powder x-ray diffraction)	45
4.2.3 ดูลักษณะโครงสร้างของยาที่โอลิฟลีนโดยใช้เครื่องอินฟราเรดスペกโตรสโคป (Fourier transform infrared spectrometer).....	46
4.2.4 ความหนาแผ่นฟิล์ม (Thickness)	48
4.2.5 ความชื้นของแผ่นฟิล์ม (Moisture content)	48
4.2.6 การทดสอบระยะเวลาที่ฟิล์มแตกตัว (Disintegration time)	49
4.2.7 ปริมาณยาบนแผ่นฟิล์ม (Drug loading)	50
4.2.8 การปลดปล่อยยา (In vitro dissolution profile).....	51
บทที่ 5 วิจารณ์และสรุปผลการวิจัย	
5.1 ผลการวัดคุณสมบัติเชิงกลของแผ่นฟิล์ม	53
5.2 ผลคุณสมบัติทางเคมีและกายภาพ	54

5.2.1 การวิเคราะห์ลักษณะสัณฐานของแผ่นฟิล์มละลายในช่องปากโดยกล้องจุลทรรศน์ อิเล็กตรอนแบบส่องกราด (Scanning Electron Microscope : SEM)	54
5.2.2 โครงสร้างของผลึกโมเลกุลยابนแผ่นฟิล์มโดยใช้เครื่องทดสอบการเลี้ยวเบนของรังสีเอกซ์ แบบผง (Powder x-ray diffraction)	55
5.2.3 ดูลักษณะโครงสร้างของยาที่โอดีฟลีนโดยใช้เครื่องอินฟราเรดスペคต์โรสโคปี (Fourier transform infrared spectrometer).....	56
5.2.4 ความหนาแผ่นฟิล์ม (Thickness)	57
5.2.5 ความชื้นของแผ่นฟิล์ม (Moisture content)	57
5.2.6 ระยะเวลาที่ฟิล์มแตกตัว (Disintegration time)	58
5.2.7 ปริมาณยาที่โอดีฟลีนบนแผ่นฟิล์ม (Drug loading)	58
5.2.8 การปลดปล่อยตัวยา (Invitro dissolution profile).....	59
5.3 สรุปผลการวิจัยและข้อเสนอแนะ	59
เอกสารอ้างอิง	61

สารบัญตาราง

ตารางที่ 1 ส่วนประกอบต่าง ๆ ของผงเมล็ดมะขาม.....	13
ตารางที่ 2 แสดงความเข้มข้นกัมจากมะขามของแผ่นฟิล์ม.....	29
ตารางที่ 3 แสดงให้เห็นถึงความเข้มข้นของยาแต่ละขวดที่นำไปสร้างกราฟมาตรฐานยา ที่โอลิฟลิน.....	35
ตารางที่ 4 แสดงค่าความเด็น (stress) ความเครียด (strain) ร้อยละการยืด ณ จุดแตกหัก (%) elongation at break และค่ามอดูลัสความยืดหยุ่น (modulus of elasticity) ของแผ่นฟิล์มที่ มีการเปลี่ยนแปลงค่าความเข้มข้นของกัมจากมะขามและอัตราส่วนของซอร์บิ ทอล.....	39
ตารางที่ 5 แสดงการเปรียบเทียบพื้นผิวของแผ่นฟิล์มจากกัมความเข้มข้นร้อยละ 3.5 ซับ ทอลร้อยละ 3 ระหว่างบริเวณที่ผ่านการพิมพ์ด้วยยา (D) กับบริเวณที่ไม่ได้ผ่านการพิมพ์ด้วย ยา (F) ด้วยกล้องจุลทรรศน์อิเล็กตรอนแบบส่องกราดที่กำลังขยาย 500 เท่าและ 1000 เท่า.....	43
ตารางที่ 6 แสดงพื้นผิวแนวตัดขวางของแผ่นฟิล์มจากกัมความเข้มข้น 3.5% ซับทอล 3% ที่ผ่านกระบวนการพิมพ์ด้วยยา ด้วยกล้องจุลทรรศน์อิเล็กตรอนแบบส่องกราดที่ กำลังขยาย 3500 เท่าและ 5000 เท่า.....	44
ตารางที่ 7 แสดงความหนาของแผ่นฟิล์มแต่ละตัวรับโดยวัดตำแหน่งที่ต่างกัน 9 ตำแหน่งบน แผ่นฟิล์ม.....	48
ตารางที่ 8 แสดงร้อยละความชื้นของแผ่นฟิล์มในแต่ละตัวรับที่มีการเปลี่ยนแปลงความ เข้มข้นกัมและอัตราส่วนของซอร์บิทอล.....	49
ตารางที่ 9 ตารางแสดง Post hoc การเปรียบเทียบความหนาเฉลี่ยของแผ่นฟิล์มของแต่ละ สูตรตัวรับ โดยใช้สถิติ One-way anova.....	49
ตารางที่ 10 แสดงเวลาที่ใช้ในการแตกตัวของแต่ละตัวรับที่เปลี่ยนแปลงความเข้มข้นของกัม จากมะขามและ อัตราส่วนของซอร์บิทอล.....	49

ตารางที่ 11 แสดงอัตราส่วนการปลดปล่อยยาในนาทีต่อ ๑ เทียบกับนาทีที่ 120..... 52

สารบัญรูปภาพ

รูปที่ 1 แผ่นพิล์มละลายในช่องปาก.....	7
รูปที่ 2 แสดงวิธีต่าง ๆ ในการเตรียมแผ่นพิล์มละลายในช่องปาก.....	8
รูปที่ 3 แสดงวิธีเตรียมแผ่นพิล์มโดยวิธีหล่อในสารละลาย.....	9
รูปที่ 4 โครงสร้างของเมล็ดพืช.....	11
รูปที่ 5 ส่วนเนอนโดสเปร์มของเมล็ดมะขาม.....	12
รูปที่ 6 ผงกัมจากเมล็ดมะขาม.....	12
รูปที่ 7 โครงสร้างของกัมจากเมล็ดมะขาม.....	13
รูปที่ 8 โครงสร้างทางเคมีของซอร์บิทอล.....	16
รูปที่ 9 โครงสร้างยา Theophylline.....	17
รูปที่ 10 ประเภทของเทคนิคการพิมพ์แบบพ่นหมึก.....	19
รูปที่ 11 Continuous ink-jet : A binary-deflection system.....	20
รูปที่ 12 Continuous ink-jet : Multiple deflection system.....	21
รูปที่ 13 roof-shooter thermal ink-jet.....	23
รูปที่ 14 side-shooter thermal ink-jet.....	23
รูปที่ 15 แสดงขั้นตอนการเตรียมผงกัม.....	28
รูปที่ 16 แสดงความสัมพันธ์ของความเค็นและมอคูลัสความยึดหยุ่นต่ออัตราส่วนของซอร์บิทอลในตัวรับ.....	40
รูปที่ 17 แสดงความสัมพันธ์ของความเค็นและมอคูลัสความยึดหยุ่นต่อความเข้มข้นของกัมในตัวรับ.....	40
รูปที่ 18 แสดงพื้นผิวของแผ่นพิล์มที่มีความเข้มข้นของกัมจากมะขามแตกต่างกัน (ก. Gum 3.5% sorbitol 3%, ข. Gum 4% sorbitol 3%, ค. Gum 4.5 % sorbitol 3%, ง. Gum 5% sorbitol 3%) ที่ได้จากการส่องกล้องจุลทรรศน์อิเล็กtronแบบส่องกราดที่กำลังขยาย 1000 เท่า.....	41

รูปที่ 19 แสดงพื้นผิวของแผ่นฟิล์มที่มีความเข้มข้นของซอร์บิทอลแตกต่างกัน (ก. ก้มจาก มะขามร้อยละ 3.5 โดยน้ำหนัก 100 : 0 ซอร์บิทอล, ข. ก้มจากมะขามร้อยละ 3.5 โดยน้ำหนัก 99 : 1 ซอร์บิทอล, ค. ก้มจากมะขามร้อยละ 3.5 โดยน้ำหนัก 97 : 3 ซอร์บิทอล, ง. ก้มจาก มะขามร้อยละ 3.5 โดยน้ำหนัก 95 : 5 ซอร์บิทอล) ที่ได้จากการส่องกล้องจุลทรรศน์อิเล็กตรอน แบบส่องกราดที่กำลังขยาย 1000 เท่า.....	43
รูปที่ 20 แสดงค่า degree (2θ) ของผงก้ม ผงยา ผงกัมและยาผอมกัน แผ่นฟิล์ม และแผ่นฟิล์ม ที่พิมพ์ยา.....	46
รูปที่ 21 แสดงผลการวิเคราะห์โครงสร้างของยาที่โอลิลีน โดยใช้หลักการ FTIR.....	47
รูปที่ 22 แสดงผลการวิเคราะห์โครงสร้างของก้มจากมะขาม โดยใช้หลักการ FTIR.....	47
รูปที่ 23 แสดงผลการวิเคราะห์โครงสร้างของยาที่โอลิลีนผอมกับก้มจากมะขาม โดยใช้ หลักการ FTIR.....	47
รูปที่ 24 แสดงผลการวิเคราะห์โครงสร้างของสาร โดยใช้หลักการ FTIRรูปที่ แสดงผลการ วิเคราะห์โครงสร้างของสาร โดยใช้หลักการ FTIRก แสดงถึงยาที่โอลิลีน ข แสดงถึงก้มจาก มะขาม ค แสดงถึงผงก้มผอมกับผงยา ง แสดงถึงยาที่โอลิลีนที่ปรินท์ลงบนแผ่นฟิล์มที่ได้ จากก้มจากมะขาม.....	48
รูปที่ 25 แสดงอัตราส่วนการปลดปล่อยตัวยาเทียบกับเวลา (นาที).....	52
รูปที่ 26 แสดงปริมาณยาบนแผ่นฟิล์มในการพิมพ์ 1, 3 และ 5 ชั่ว.....	53
รูปที่ 27 แสดงปริมาณยาบนแผ่นฟิล์มในพื้นที่ผิว 4, 12 และ 20 ตารางเซนติเมตร.....	53

บทที่ 1

บทนำ

ความเป็นมาและความสำคัญของปัจจุบัน

เทคโนโลยีการผลิตยาในศตวรรษที่ 21 มีแนวโน้มสู่การผลิตยาที่มีความจำเพาะกับผู้ป่วยในแต่ละบุคคลเพื่อลดความเสี่ยงในการเกิดผลข้างเคียงและเพื่อเพิ่มประสิทธิภาพในการรักษา เทคโนโลยีการพิมพ์ยา (printing medicine) เป็นหนึ่งในเทคโนโลยีที่ถูกนำมาประยุกต์ใช้เตรียมเภสัชภัณฑ์ที่มีความแม่นยำในการกำหนดขนาดของยาด้วยโปรแกรมจากคอมพิวเตอร์ (1) รูปแบบคำรับยาที่ได้จากเทคโนโลยีสามารถพัฒนาออกแบบได้อย่างหลากหลายโดยรูปแบบการพิมพ์ยาแบบสองมิติ สามารถนำมารัดแปลงและพัฒนาเตรียมรูปแบบแผ่นฟิล์มละลายในช่องปากได้ (Orodispersible film) (2) ซึ่งมีประโยชน์ในผู้ป่วยกลุ่มที่ไม่สามารถกินยาเม็ดได้ เช่น ผู้ป่วยสูงอายุ ผู้ป่วยเด็ก ผู้ป่วยทางจิต และผู้ป่วยหนดสติ รูปแบบของยาที่เป็นแผ่นฟิล์มนั้นทำให้เกิดความสะดวกในการรับประทานเนื่องจากไม่ต้องใช้น้ำช่วยในการกิน (3) แผ่นฟิล์มสามารถละลายได้อย่างรวดเร็วตั้งแต่ในปากช่วยเพิ่มอัตราการละลายของยาส่งผลให้ยาถูกดูดซึมเข้าร่างกายได้มากขึ้น จากคุณสมบัติของเทคโนโลยีการพิมพ์ยาที่กำหนดขนาดยาได้แม่นยำสามารถนำมาประยุกต์ใช้กับคำรับยาที่มีดัชนีช่วงการรักษาที่แคบ (Narrow therapeutic index) เช่น 华法林 (Warfarin), ดิจอกซิน (Digoxin), ฟีนิลโทอีน (Phenytoin) และ ทีโอดิลีน (Theophylline) เพื่อลดโอกาสการเกิดผลข้างเคียงจากการได้รับปริมาณยาสูงเกิน โดยในงานวิจัยนี้มีความสนใจในการนำยาทีโอดิลีนเป็นยาตันแบบเนื้องจากเป็นยาที่ใช้กันอย่างแพร่หลายตามโรงพยาบาลทั่วไป โดยเฉพาะผู้สูงอายุที่เป็นโรคปอดอุดกั้นเรื้อรังส่วนใหญ่จะได้รับการรักษาด้วยยาชนิดนี้และต้องรับประทานทุกวันเพื่อควบคุมอาการ ขนาดของยาเป็นสิ่งที่สำคัญ

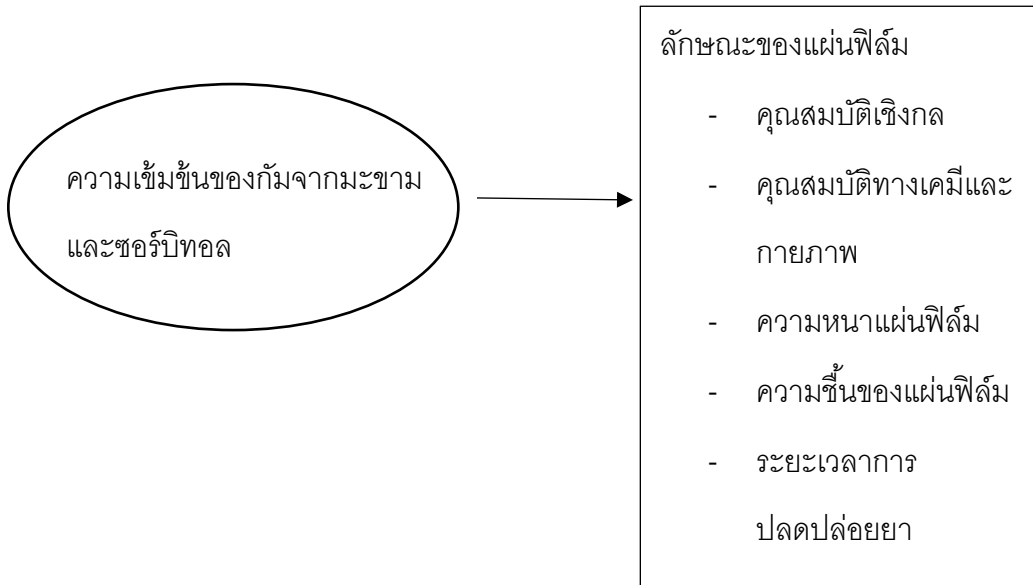
เนื่องจากยาชนิดนี้มีขนาดยาที่ใช้ในการรักษาใกล้เคียงกับขนาดยาที่ทำให้เกิดผลข้างเคียงที่อันตรายถึงชีวิต โดยขนาดยาที่เหมาะสมสำหรับผู้ป่วยในแต่ละรายนั้นไม่เท่ากัน และขนาดในการรักษาของยานั้นไม่สามารถคาดเดาได้จากน้ำหนัก อายุ และเพศของผู้ป่วย จึงต้องมีการติดตามและปรับขนาดยาอยู่เสมอเป็นรายบุคคล (4) ซึ่งในอดีตมีงานวิจัยที่นำยาที่โอพิลลีนมาประยุกต์ใช้กับเทคโนโลยีพิมพ์ยาแล้ว แต่ไม่ใช่รูปแบบตัวรับแผ่นฟิล์มละลายในช่องปากแต่เป็นในรูปแบบของการพิมพ์ลงบนแผ่นรองรับชนิดมีรูพรุน (Porous substrate) (5)

คงจะผู้วิจัยเห็นความสำคัญดังกล่าวจึงได้นำยาที่โอพิลลีนมาเป็นยาตั้นแบบเพื่อทดลองหาสภาวะและสูตรตัวรับที่เหมาะสมสำหรับเตรียมตัวรับยาแผ่นฟิล์มละลายในช่องปากด้วยเทคโนโลยีการพิมพ์ยาในรูปแบบสองมิติ

วัตถุประสงค์

1. เพื่อประยุกต์กับจากการพิมพ์แบบรูปแบบตัวรับลงในกระบวนการสร้างแผ่นฟิล์มละลายในช่องปาก
2. เพื่อหาปัจจัยที่ส่งผลต่อการสร้างแผ่นฟิล์มละลายในช่องปากด้วยด้วยเทคนิคการพิมพ์แบบใช้ความต่างศักย์ (Piezoelectric ink-jet)
3. เพื่อพัฒนาตัวรับยาที่โอพิลลีนในรูปแบบแผ่นฟิล์มละลายในช่องปาก (Orodispersible film) ด้วยเทคนิคการพิมพ์แบบใช้แบบใช้ความต่างศักย์

กรอบแนวคิดการวิจัย



สมมติฐานการวิจัย

1. สามารถใช้กัมจากมะขามสร้างแผ่นฟิล์มละลายในช่องปากได้
2. ทราบปัจจัยที่ส่งผลต่อการสร้างแผ่นฟิล์มละลายในช่องปากด้วยเทคนิคการพิมพ์แบบสองมิติ
3. สามารถพัฒนาตัวรับยาที่โอดิลลีนในรูปแบบแผ่นฟิล์มละลายในช่องปากได้ด้วยเทคนิคการพิมพ์แบบสองมิติ

ขอบเขตของการวิจัยข้อตกลงเบื้องต้น

เตรียมแผ่นฟิล์มละลายในช่องปากโดยใช้พอลิเมอร์คือกัมจากมะขามโดยใช้เครื่องพิมพ์แบบฉีดหัวมิก (Inkjet printer) จะศึกษาคุณสมบัติของแผ่นฟิล์มในหัวข้อ คุณสมบัติเชิงกล (Mechanical properties) คุณสมบัติทางเคมีและกายภาพ (Physicochemical properties) ปริมาณยานแผ่นฟิล์ม (Drug loading) เวลาในการแตกตัวของเม็ดยา (Disintegration time) และปริมาณยาที่ปลดปล่อยจากแผ่นฟิล์ม (In-vitro drug release)

ข้อจำกัดในการวิจัย

ข้อจำกัดในเรื่องของสารเคมีที่ทางคณะไม่มีทำให้ต้องสั่งจากบริษัทโดยตรงทำให้ต้องรอเวลาในการขนส่ง จึงส่งผลต่อการดำเนินงานวิจัยทำให้เกิดความล่าช้าในบางช่วงและในส่วนข้อจำกัดของเครื่องมือที่ใช้ในทดสอบที่ทางคณะไม่มีทำให้ต้องติดต่อขอทดสอบที่มหาวิทยาลัยศิลปากรทำให้ต้องใช้ระยะเวลาในการดำเนินการและในส่วนของเครื่องมือที่ทางคณะมีเพียงเครื่องเดียวแต่มีหลายกลุ่มงานวิจัยที่ต้องใช้ร่วมกัน เช่นเครื่องクロโนโโทรกราฟิกของเหลวสมรรถนะสูง (HPLC) ทำให้การทดสอบเกิดความล่าช้า

ประโยชน์ที่คาดว่าจะได้รับ

สามารถพัฒนาตัวรับยาที่อิฐลีนในรูปแบบแผ่นพิล์มละลายในช่องปากด้วยเทคนิคการพิมพ์ด้วยเทคนิคการพิมพ์แบบใช้ความต่างศักย์

นิยามศัพท์

1. Personalized medicine

ยาที่ผลิตเพื่อใช้สำหรับผู้ป่วยเฉพาะราย

2. Narrow therapeutic index drug

ยาที่มีช่วงดัชนีการรักษาแคบ

3. Orosoluble film

แผ่นพิล์มละลายในช่องปาก

4. Piezoelectric ink jet printing

เทคโนโลยีหัวพิมพ์ที่ใช้ระบบไฟฟ้าทำให้เกิดแรงดันซึ่งนำไปใช้ในการพิมพ์

5. Theophylline

ยาที่ใช้รักษาโรคหอบหืด ถุงลมโป่งพอง

6. 2D printing technology

การพิมพ์ภาพที่อยู่ในร่างรูปทรงแต่ไม่มีความลึก

บทที่ 2

วรรณกรรมที่เกี่ยวข้อง

2.1 การพิมพ์ยา (Printing medicines)

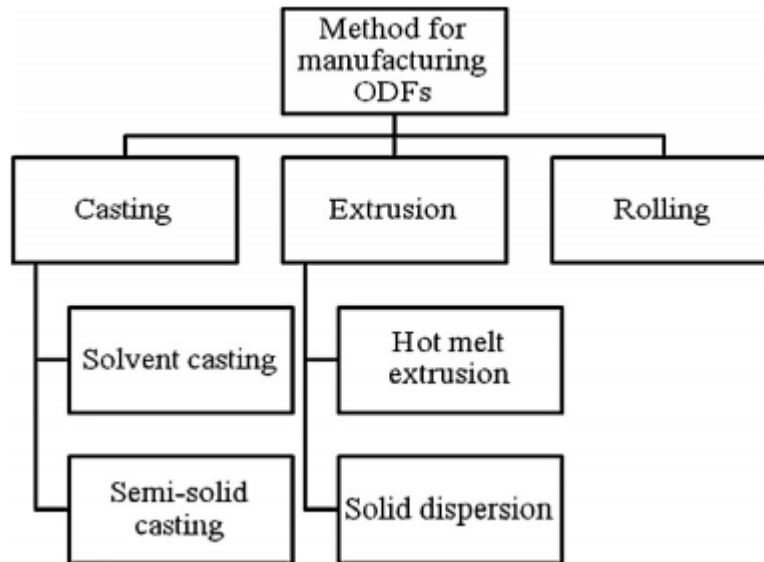
การพิมพ์ยาเป็นเทคโนโลยีใหม่ที่นำสันใจ เป็นการนำสารละลายมาแทนที่หมึกพิมพ์ในกระบวนการพิมพ์ เนื่องจากความสามารถของเครื่องพิมพ์ที่ทำให้ของเหลวอยู่ในรูปแบบลักษณะของเหลวที่มีปริมาตรที่คงอยู่ในช่วงของพิโคลิตรทำให้มีระดับของความแม่นยำที่สูง (3) เมื่อลองอยาผ่านการพิมพ์ก็ถูกเป็นแผ่นจะได้รูปแบบตัวรับยาที่เป็นที่รู้จักอย่างแพร่หลาย เช่น แผ่นฟิล์มละลายในช่องปาก (1) เทคโนโลยีดังกล่าวสามารถตอบสนองความต้องการในอนาคตได้โดยพัฒนาให้เป็นระบบการนำส่งยาที่ใช้รับประทานส่งผลให้ผู้ป่วยได้รับขนาดยาที่เหมาะสมกับ อายุ น้ำหนัก การดำเนินชีวิตประจำวันที่แตกต่างกัน เป็นต้น อีกทั้งยังสามารถนำมาใช้ในยาที่ต้องระวังในการปรับขนาดยา เช่น ยาที่เป็นอนุพันธ์ของเอน ไซอร์โนน ยาที่มีช่วงดัชนีการรักษาแคบ ในขณะเดียวกันยังสามารถลดความเสี่ยงในการให้ยาผู้ป่วยผิดขนาดในการรักษารวมถึงความสามารถของการพิมพ์ทำให้สามารถระบุชื่อของคนไข้หรือชื่อความลงใบในแผ่นฟิล์มได้โดยไม่ต้องเพิ่มขั้นตอนในกระบวนการผลิต เทคโนโลยีการพิมพ์ยานั้นเหมาะสมที่จะใช้เตรียมตัวรับยาในช่องปากซึ่งสามารถแบ่งประเภทของระบบยาจากภาระภายนอกภายนอกและจัดการแต่ละตัวได้เป็นระบบยาที่ละลายได้อย่างรวดเร็ว ละลายอย่างช้าๆ และระบบยาที่ไม่ละลายเลย โดยผลิตภัณฑ์จากเทคโนโลยีการพิมพ์ยาที่ได้รับความนิยมเป็นอย่างมากคือ แผ่นฟิล์มละลายในช่องปาก (2)

2.2 แผ่นฟิล์มละลายในช่องปาก (Oro-dispersible films)

แผ่นฟิล์มละลายในช่องปากเป็นเทคโนโลยีของตัวรับยารูปแบบหนึ่งที่ค่อนส่วนใหญ่ให้ความสนใจ เนื่องจากมีข้อดีเหนือกว่ารูปแบบยารับประทานที่มีอยู่ในห้องทดลอง เช่น ความง่ายในการกลืน ความคงตัวที่มากกว่าyan้ำและยาแขวนตะกอน แผ่นฟิล์มละลายในช่องปากส่วนใหญ่เตรียมจากพอลิเมอร์ที่ก่อรูปร่างเป็นแผ่นฟิล์มได้ดีโดยพิล์มมีความบางดังแสดงในรูปที่ 1 ทำให้สามารถแตกตัวและละลายได้อย่างรวดเร็วเมื่อสัมผัสกับน้ำลายในปากอีกทั้งความยืดหยุ่นของแผ่นฟิล์มทำให้มีความสะดวกในการพกพาและสะดวกในการรับประทานในขณะที่ไม่มีน้ำ เช่น ขณะเดินทางและไม่ต้องอาศัยการเคี้ยวดังนั้นจึงส่งผลดีสำหรับผู้ป่วยที่เป็นเด็ก ผู้สูงอายุ ผู้ป่วยจิตเพศ ผู้ป่วยที่กลืนลำบาก แต่ข้อจำกัดของเทคโนโลยีนี้คือความจุของปริมาณยาบนแผ่นฟิล์ม ทำให้เทคโนโลยีเหมาะสมสำหรับยาที่ใช้ขนาดต่ำในการออกฤทธิ์ และไม่สามารถใช้กับตัวรับยาที่ต้องใช้ตัวทำละลายและความร้อนในการกระบวนการผลิต รวมถึงต้องระวังจัดการเรื่องรสชาติของตัวรับอีกด้วย (6) การเตรียมแผ่นฟิล์มละลายในช่องปากเชิงอุตสาหกรรมในปัจจุบันสามารถเตรียมได้หลายวิธี เช่น การหล่อ (Casting) การหลอม (Extrusion) การกลึง (Rolling) (7) ดังแสดงในรูปที่ 2



รูปที่ 1 แผ่นฟิล์มละลายในช่องปาก (8)

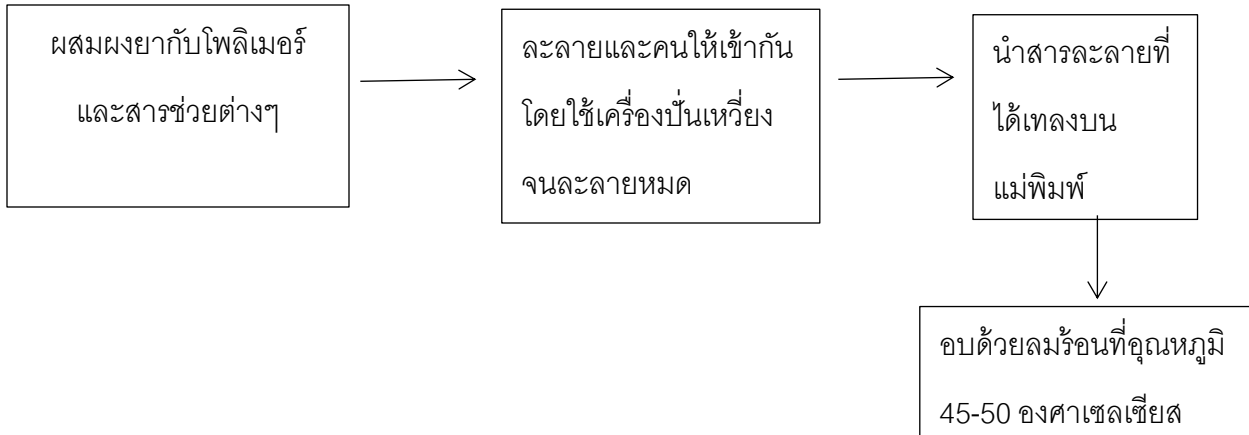


รูปที่ 2 แสดงวิธีต่าง ๆ ในการเตรียมแผ่นฟิล์มละลายในช่องปาก (7)

2.2.1 การหล่อ

2.2.1.1 การหล่อในสารละลาย (Solvent casting method)

วิธีการหล่อในสารละลายเป็นวิธีเตรียมแผ่นฟิล์มที่นิยมใช้ส่วนใหญ่ในเชิงอุตสาหกรรมเนื่องจากมีขั้นตอนที่ง่ายกว่าวิธีอื่น ๆ มีขั้นตอนการเตรียมโดยละลายตัวยาสำคัญในตัวทำละลายที่เหมาะสมจากนั้นนำมาผสมกับพอลิเมอร์และสารช่วยต่าง ๆ ให้เป็นเนื้อเดียวกันแล้วนำไปเทลงในภาชนะแบบพิมพ์ที่ใช้สร้างฟิล์ม ทำให้แห้งโดยใช้ความร้อน (7) ดังแสดงในรูปที่ 3



รูปที่ 3 แสดงวิธีเตรียมแผ่นฟิล์มโดยวิธีหล่อในสารละลาย (9)

2.2.1.2 กระบวนการหล่อโลหะกึ่งแข็ง (Semi-solid casting method)

ขั้นตอนในการทำวิธีนี้คือผสมส่วนที่เป็นกรดที่ชอบน้ำ (Hydrophilic) แต่ไม่ละลายน้ำ จากนั้นใส่พลาสติกไซซ์อร์ล์งไปเพื่อให้ขึ้นรูปเป็นเจลแล้วนำกลึงและทำให้แห้ง

2.2.2 การหลอม

2.2.2.1 การหลอมด้วยความร้อน (Hot melt extrusion)

การหลอมด้วยความร้อนเป็นเทคนิคที่ผสมตัวยาพอลิเมอร์และสารช่วยอื่น ๆ โดยจะถูกหลอมภายใต้ความร้อนที่สูงเพื่อทำให้สารรวมตัวเป็นเนื้อดียกันแล้วถูกนำไปเข้ารูปเป็นแผ่นฟิล์มซึ่งเป็นกระบวนการที่ไม่จำเป็นต้องใช้สารละลายแต่อย่างไรก็ตามสารที่จะนำมาสร้างแผ่นฟิล์มด้วยวิธีนี้ต้องเป็นสารที่ทนความร้อนได้ซึ่งจัดได้ว่าเป็นข้อเสียหลักของกระบวนการนี้เนื่องจากมีการใช้ความร้อนที่สูงในกระบวนการหลอม (10)

2.2.2.2 การกระจายตัวยาในสภาวะของแข็งโดยวิธีการหลอม (Solid dispersion extrusion)

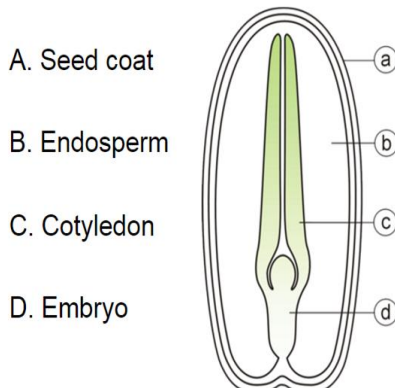
การกระจายตัวยาในสภาวะของแข็งโดยวิธีการหลอมละลายภายในตัวทำละลายที่เหมาะสม
แล้วเทลงในพอลิเมอร์ที่หลอมละลายกับส่วนประกอบอื่น ๆ ที่ไม่เข้ากันแล้วทำการตัดส่วนที่มีการ
กระจายตัวยาในสภาวะของแข็งใส่ลงไปบนแผ่นฟิล์มตัวอย่างการงานวิจัยที่ใช้วินิจฉัยได้แก่การกระจาย
ตัวยาด้วยโพลิเมอร์ในของแข็งโดยใช้เบต้าไซค์โคลเดกตริน (Beta cyclodextrin) พีจี 400 (PEG 400)
และไฮดรอกซิโพริลเมทิลเซลลูโลส (Hydroxymethylcellulose) เป็นพอลิเมอร์ (10)

2.2.3. การกลึง

กระบวนการรีดขึ้นรูปเป็นกระบวนการที่มีการเตรียมสารละลายที่มีคุณสมบัติการไหลที่มี
ความจำเพาะสำหรับการกลึงบนลูกกลิ้งซึ่งทำโดยเตรียมสารละลายhexane ตากอนของยาและพอลิเมอร์
ในน้ำหรือแอลกอฮอล์จากนั้นนำไปกลึงบนลูกกลิ้งแล้วระเหยตัวทำลายออกจะได้เป็นแผ่นฟิล์ม (10)
โดยคณานุวิจัยเลือกการเตรียมแผ่นฟิล์มที่ละลายในปากโดยใช้วิธีการหล่อฟิล์มในสารละลาย
เนื่องจากเป็นวิธีที่ง่าย เหมาะสม และคุ้มค่าที่สุดในการเตรียมแผ่นฟิล์มเชิงการทดลองทาง
ห้องปฏิบัติการโดยคุณสมบัติของแผ่นฟิล์มที่เหมาะสม เช่น ความยืดหยุ่น เวลาที่ใช้ในการแตกตัวและ
การละลายขึ้นอยู่กับคุณสมบัติและปริมาณความเข้มข้นของพอลิเมอร์และสารเสริมสภาพพลาสติก
(Plasticizer) ที่ใช้ ในอดีตจนถึงปัจจุบันพอลิเมอร์จากธรรมชาติถูกนำมาประยุกต์ใช้ในทาง
อุตสาหกรรมมากขึ้น ซึ่งมีการศึกษาการนำกัมจากเมล็ดพืชหลายชนิดมาทำเป็นแผ่นฟิล์ม ได้แก่
มะขาม หางนกยูงฝรั่ง คุณ เมล็ดกระถิน มะรุม กระเจี๊ยบ เป็นต้น เนื่องจากสารละลายกัมจากธรรมชาติ
ที่มีความเข้มข้นเหมาะสมสามารถสร้างแผ่นฟิล์มที่มีความปลดปล่อยสูง ตันทุนในการผลิตต่อ อีกทั้งใน
ประเทศไทยมีวัตถุดิบดังกล่าวเป็นจำนวนมากและจัดได้ว่าเมล็ดพืชพวงนี้เป็นขยะทางอุตสาหกรรม กัม
จากธรรมชาติจึงเป็นสารช่วยที่นำสนใจในการใช้เป็นพอลิเมอร์ตัวอย่างในงานวิจัยครั้งนี้ (11)

2.3 กัมจากเมล็ดมะขาม

กัมเป็นสารไฮdroคอลloid (Hydrocolloid) ซึ่งเป็นพอลิแซคคาไรด์ (Polysaccharide) ที่ได้จากการรวมชาติดจัดเป็นคาร์โบไฮเดรตชนิดหนึ่ง (12) กัมสกัดได้จากพืชหรือสาหร่ายหรือสารจำพวกแป้งที่อยู่ในเมล็ดพืชที่สกัดได้จากเนื้อในเมล็ด (Endosperm) กัมเป็นสารที่มีคุณสมบัติให้ความหนืดและสามารถละลายน้ำได้ดีนอกจากนี้มีความสามารถในการเกิดเป็นเจลได้ ซึ่งก็ได้รับความนิยมมากในการนำมาใช้ในอุตสาหกรรมต่าง ๆ ทั้งอาหาร ยา และเครื่องสำอาง ซึ่งโครงสร้าง องค์ประกอบทางเคมี สมบูรณ์แบบของเมล็ดพืชแต่ละชนิด แตกต่างกันไปขึ้นอยู่กับแหล่งของเมล็ดพืช ลักษณะคล้ายน้ำนมถึงกระบวนการต่าง ๆ ในกระบวนการสกัด (13) สำหรับโครงงานงานวิจัยนี้จะใช้กัมจากเมล็ดมะขามที่ได้จากการจังหวัดสุราษฎร์ธานีโดยใช้ส่วนของเอนไซม์เพิร์มดังแสดงในรูปที่ 4



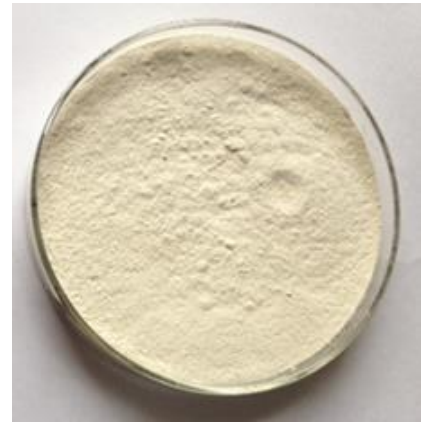
รูปที่ 4 โครงสร้างของเมล็ดพืช (14)

มะขาม (*Tamarindus indica* Linn.) จัดอยู่ในวงศ์ Leguminosae – Caesalpinoideae เป็นพืชใบเลี้ยงคู่ ไม่ต้นขนาดกลางจนถึงขนาดใหญ่ แตกต่างกันสาขามากปัญหาได้ในเขตหนาวเช่น (14) ฝักมะขามมีลักษณะเป็นฝักสีน้ำตาลซึ่งมีลักษณะแข็ง แบน มันวาว มีสีน้ำตาลซึ่งเมล็ดมะขามถือเป็นของเหลือทิ้งจากอุตสาหกรรมการผลิตเนื้อมะขาม (15)

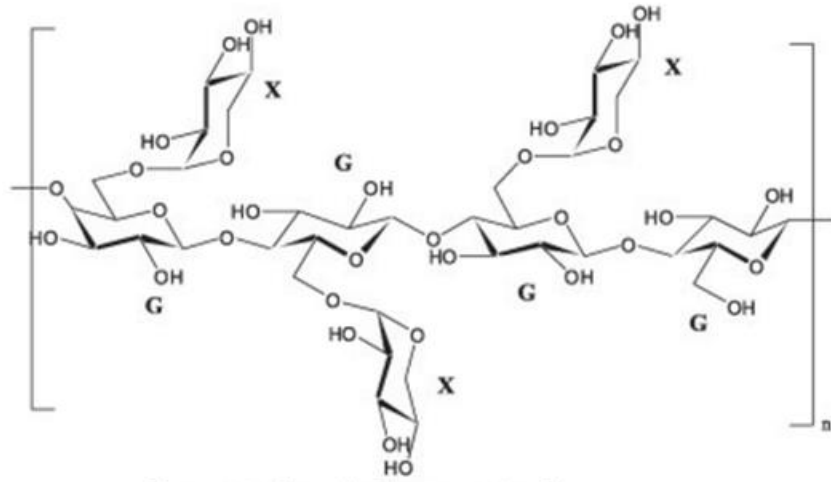
กัมจากเมล็ดมะขามสักด้ได้จากเมล็ดมะขามในส่วนของเอนโดสเปอร์มดังแสดงในรูปที่ 5 เมื่อนำเมล็ดมะขามมาแยกเปลือกออกแล้วนำเอนโดสเปอร์มไปบดให้เป็นผงละเอียดจะได้ผงกัมจากเมล็ดมะขาม ลักษณะเป็นผงสีน้ำตาลอ่อนดังรูปที่ 6 ซึ่งโครงสร้างกัมจากมะขามประกอบด้วยพอลิแซกคาไวร์ดประมาณร้อยละ 65 – 72 ของส่วนประกอบทั้งหมด น้ำตาลโมเลกุลเดี่ยว 3 ชนิด คือน้ำตาลกลูโคส น้ำตาลไชโรม และ น้ำตาลกาแลคโตส หรือเรียก “ไซโลกลูแคน” ในอัตราส่วนประมาณ 2.8 : 2.25 : 1.0 ต่อ กันเป็นสายพوليเมอร์ (13,14) ดังแสดงในตารางที่ 1 มีน้ำหนักโมเลกุลเฉลี่ยประมาณ 720,000-880,000 Dalton ต้นโครงสร้างสายหลักของกัมเมล็ดมะขามนั้นประกอบไปด้วย $(1\rightarrow 4)$ - β -D-glucan ต่อ กันเป็นสายหลัก (14) ดังแสดงรูปที่ 7



รูปที่ 5 ส่วนเอนโดสเปอร์มของเมล็ดมะขาม (14)



รูปที่ 6 ผงกัมจากเมล็ดมะขาม (14)



รูปที่ 7 โครงสร้างของกัมจากเมล็ดมะขาม (16)

ตารางที่ 1 ส่วนประกอบต่าง ๆ ของผงเมล็ดมะขาม (17)

ส่วนประกอบ	ปริมาณ (ร้อยละ)
พอลิแซคคาไรด์	65.1 – 72.2
โปรตีน	15.0 – 20.9
ไขมัน/น้ำมัน	3.9 – 8.0
ความชื้น	11.4 – 22.7
เส้า	2.4 – 4.2

ความหนืดของสารละลายกัมสามารถเปลี่ยนแปลงได้ตามอุณหภูมิที่เพิ่มขึ้น เนื่องโครงสร้างของกัมเป็นสายพอลิเมอร์ยาวเรียบต่อ กัน มีกิ่งแตกแขนงทางด้านข้างที่มีหมู่ไฮdroอกซิลทำให้เกิดปฏิกิริยาดูดน้ำ (Hydration) ได้ เมื่อทำการละลายกัมในน้ำจึงเกิดการพองตัวขึ้นเป็นสารละลายที่มีความหนืดเล็กน้อย การเพิ่มคุณภาพให้แก่สารละลายจะทำให้โครงสร้างพอลิเมอร์ของกัมอ่อนตัวและ

เกิดการขาดตัวเปลี่ยนรูปร่างส่งผลให้สารละลายกัมมีความหนืดเพิ่มขึ้น โดยความหนืดจะขึ้นอยู่กับความเข้มข้นของกัมจากเมล็ดมะขามและอุณหภูมิที่ใช้ในการละลาย (18)

การประยุกต์ใช้กัมจากเมล็ดมะขามทางอุตสาหกรรมต่าง ๆ ที่หลากหลายได้แก่อุตสาหกรรมอาหาร อุตสาหกรรมเครื่องสำอางและอุตสาหกรรมทางยา อุตสาหกรรมทางยาในปัจจุบันมีความสนใจในการนำกัมจากเมล็ดมะขามมาศึกษาวิจัยมาประยุกต์ใช้ในหลากหลายมากยิ่งขึ้น เนื่องจากกัมจากเมล็ดมะขามเป็นสารที่ได้จากธรรมชาติซึ่งมีความปลดปล่อยตัวอย่างงานวิจัยที่นำกัมจากเมล็ดมะขามมาศึกษาเรื่องการนำกัมจากเมล็ดมะขามมาประยุกต์ในการควบคุมการปลดปล่อยยา Verapamil HCl (19) การพัฒนา Metronidazole ในรูปแบบของ Mucoadhesive buccal Patchesโดยใช้กัมจากเมล็ดมะขามเพื่อเป็น Mucoadhesive และเพื่อควบคุมการปลดปล่อยตัวยา (20)

ในงานวิจัยนี้นักจากจะใช้กัมจากเมล็ดมะขามเป็นโพลิเมอร์แล้วยังมีการใช้พลาสติกไชเซอร์เพื่อเพิ่มความหยดหยุ่นอีกด้วย

2.4 สารเสริมสภาพพลาสติก (Plasticizer)

สารเสริมสภาพพลาสติก (Plasticizer) คือสารเติมแต่งที่ใส่ลงในกระบวนการผลิตพิล์มเพื่อทำให้มีคุณสมบัติเปลี่ยนไปคือ มีความอ่อนนุ่ม ยืดหยุ่นสูง ทนต่อสภาพแวดล้อมเป็นกรดด่าง ทนต่ออุณหภูมิสูง และมีความเปราะต่ำ มีความเนียนละเอียดมากเพื่อบรร权กันการแตก ระหว่างการจัดการและการเก็บรักษาสามารถนำไปใช้งานได้หลากหลาย ทั้งในอุตสาหกรรมอาหารและยา เป็นต้น โดยสารเหล่านี้จะไม่ทำปฏิกิริยากับพิล์มแต่จะไปเรกอกซูร่วงห่วงไม่เลกฤทธิ์ของพิล์ม ทำให้แรงยึดเหนี่ยวระหว่างไม่เลกฤทธิ์อ่อนลง (21) สารเสริมสภาพพลาสติกแบ่งเป็นสองประเภทตามกลไกการทำงานคือ สารเสริมสภาพพลาสติกภายใน (Internal plasticizer) และสารเสริมสภาพพลาสติกภายนอก (External plasticizer)

2.4.1 สารเสริมสภาพพลาสติกภายใน (Internal plasticizer)

สารเสริมสภาพพลาสติกภายในส่วนใหญ่เป็นมอนโอมอร์ (Monomer) ทำให้เมื่อทำการผสมรวมกับสารละลายน้ำ เช่น น้ำมันดินสี ฯลฯ สารเสริมสภาพพลาสติกจะเข้าไปแทรกเป็นส่วนหนึ่งของสายโมเลกุลพอลิเมอร์โดยทำพันธะทางด้านข้างของโครงสร้างพอลิเมอร์สายหลักทำให้ลดการทำพันธะกันเองระหว่างสายโมเลกุลของพอลิเมอร์ผลที่ได้คือแผ่นพอลิเมอร์มีความอ่อนตัวมากขึ้น (22)

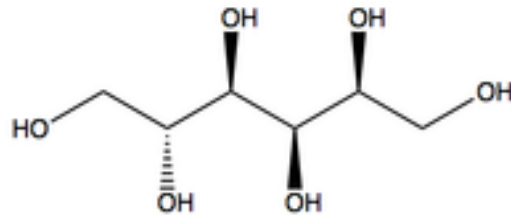
2.4.2 สารเสริมสภาพพลาสติกภายนอก (External plasticizer)

สารเสริมสภาพพลาสติกภายนอกเป็นสารที่มีความดันไอก่อตัว (Vapor pressure) เมื่อทำการผสมรวมกับสารละลายน้ำ เช่น น้ำมันดินสี ฯลฯ จะไม่เกิดปฏิกิริยาเคมีหรือไม่เกิดการทำพันธะกับพอลิเมอร์สายหลักแต่โมเลกุลของสารเสริมสภาพพลาสติกจะเข้าไปแทรกอยู่ระหว่างโมเลกุลของพอลิเมอร์ทำให้ลดแรงดึงดูดระหว่างโมเลกุลของพอลิเมอร์ ส่งผลให้พอลิเมอร์อ่อนตัวและเปลี่ยนแปลงรูปร่างได้ง่ายขึ้น (22) ชนิดของสารเสริมสภาพพลาสติกที่นิยมใช้สำหรับการเตรียมพิล์มได้แก่

- สารพอลิออล (Polyol) เช่น กลีเซโรล (Glycerol) ซอร์บิทอล (Sorbitol) และโพลีเอทิลีนไอกออล (Propylene glycol)
 - โมโน ได หรือ โอลิโกแซ็คคาไรด์ (Mono, di หรือ oligosaccharide) เช่น น้ำตาลกลูโคส, ฟрукโตส, ไซรัป, น้ำผึ้ง
 - ไขมันและอนุพันธ์ของไขมัน เช่น โมโนกลีเซอไรด์และอนุพันธ์ของเอสเทอเรชัน
- ทางคณิตศาสตร์ที่ได้เลือกใช้ซอร์บิทอลเป็นสารเสริมสภาพพลาสติกในงานวิจัยครั้งนี้

ซอร์บิทอล

ซอร์บิทอล (Sorbitol) มีโครงสร้างแสดงดังรูปที่ 8 เป็นน้ำตาลแอลกอฮอล์หรือสารให้ความหวาน ซึ่งให้แคลอรีน้อยกว่าซูครัสหรือน้ำตาลทั่วไปถึง 1 ใน 3 หากบริโภคมากเกินไปจะเกิดอาการท้องร่วงรุนแรงและน้ำหนักลด



รูปที่ 8 โครงสร้างทางเคมีของซอร์บิทอล (23)

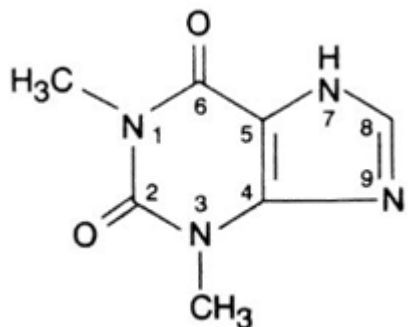
ซอร์บิทอล (Sorbitol) พぶตามธรรมชาติในผักและผลไม้ หรือผลิตได้จากการกลูโคสไฮดรัส เป็นที่รู้จักกันในชื่อ Glucitol, Sorbogem และ Sorbo มีความหวานประมาณ 60 เปอร์เซ็นต์ ของน้ำตาลซูโคส ให้พลังงาน 2.6 กิโลแคลอรี่ต่อกิโลกรัม เป็นน้ำตาลแอลกอฮอล์ที่ร่างกายมนุษย์เผาผลาญได้ช้าเนื่องจากกลีโคเดวิชชุมูลแอลดีไฮด์ (Aldehyde group) เป็นหมู่ไฮดรอกซิล ดังรูปที่ 8 สามารถละลายน้ำได้ดี (Askar และ Treptow, 1985) เป็นสารดูดความชื้น ทำให้รักษาความชื้นได้ดี

ซอร์บิทอล (Sorbitol) ให้ความหวานประมาณ 60 เปอร์เซ็นต์ของซูโคส โดยเฉลี่ยในผู้ใหญ่ควรบริโภค 50 กรัม ซอร์บิทอลต่อวัน จะไม่ก่อให้เกิดการระบาดท้อง อุตสาหกรรมอาหารใช้ซอร์บิทอลเป็นสารให้ความหวานในผลิตภัณฑ์ต่าง ๆ เช่น มากฝรั่งปาราชาจากน้ำตาลซึ่งไม่ก่อให้เกิดฟันผุ ใช้เป็นส่วนผสมในลูกกวาดปาราชาจากน้ำตาล อาหารสำหรับ คนเป็นโรคเบาหวาน ทางด้านการแพทย์ใช้ซอร์บิทอลเป็นสารช่วยระบายสำหรับคนท้องผูก (24)

2.5 ยาทีโอลีฟลีน(Theophylline)

ยาทีโอลีฟลีนเป็นอนุพันธ์ของ Methyl xanthine โครงสร้างดังแสดงในรูปที่ 9 สูตรโมเลกุล $C_7H_8N_4O_2$ น้ำหนักโมเลกุลเท่ากับ 180.16 กรัมต่อมิลลิลิตร เป็นผลิตภัณฑ์ที่ไม่มีกลิ่น มีรสขม มีจุดหลอมเหลวที่ 273 องศาเซลเซียส ละลายน้ำได้เล็กน้อย (Slightly soluble) ในแอลกอฮอล์และน้ำ

(น้ำ 7.36 มก./ลิตร) (25) อุณหภูมิที่สารสลายตัวคือ 350 องศาเซลเซียส (26) คุณสมบัติของตัวยา
สำคัญอยู่ใน BCS class I (High solubility, High Permeability) (27)



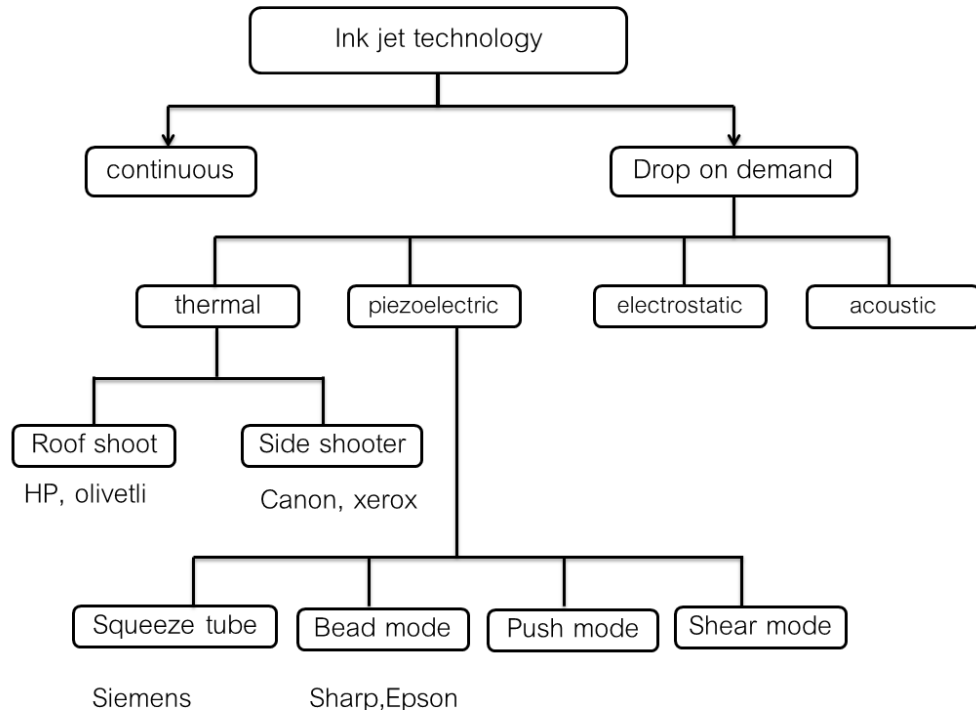
รูปที่ 9 โครงสร้างยา Theophylline (28)

ยาที่โอลิลีนเป็นยาที่ใช้ในการรักษาอาการทางเดินหายใจอุดกั้นจากโรคหอบหืดเรื้อรังและโรคปอดเรื้อรังอื่น ๆ เช่น ถุงลมโป่งพอง หลอดลมอักเสบเรื้อรัง เป็นต้น ยาที่โอลิลีนในรูปแบบการให้ทางการรับประทานสามารถดูดซึมได้อย่างรวดเร็วแพร์กวิจัยอย่างอิสระไปตามเนื้อเยื่อต่าง ๆ ของร่างกาย ถูกทำลายด้วยเอนไซม์จากตับ และขับออกทางปัสสาวะ เกสชชัลนศาสตร์ของยาที่โอลิลีนนั้นมีความหลากหลายมากตามถึงในกลุ่มผู้ป่วยที่มีลักษณะที่คล้ายกันก็ตามและขนาดของยาไม่สามารถคาดเดาได้จาก อายุ เพศ น้ำหนัก และภูมิลำเนา ดังนั้นจึงต้องมีการติดตามความเข้มข้นของยาในเลือดบ่อยครั้ง ในผู้ป่วยปกติให้ติดตามทุก 1 วัน ในระยะยาวให้ติดตามทุก ๆ 6-12 เดือน และติดตามทุกครั้งเมื่อพบปัจจัยที่คาดว่าจะส่งผลต่อการขับออกของยา เป็นต้น ช่วงความเข้มข้นของยาในเลือดที่มีผลในการรักษานั้นอยู่ในระดับที่ใกล้เคียงกับระดับของความเข้มข้นของยาในเลือดที่มีผลทำให้เกิดผลข้างเคียงที่อันตราย เช่น หัวใจเต้นผิดจังหวะ อาการชาที่ดื้อต่อการรักษาด้วยยาซึ่งมีอันตรายถึงชีวิต (29) ทำให้ปัจจุบันรูปแบบตัวรับยาที่รับประทานที่โอลิลีนที่ผลิตในห้องทดลอง มีขนาดยาที่หลากหลาย ได้แก่ ยาเม็ดและแคปซูลออกฤทธิ์เนื่นขนาด 100, 200, 300, 400, 450, 600

มิลลิกรัม ยาน้ำขนาด 80 มิลลิกรัมต่อมิลลิลิตร การที่มีหลายขนาดยาในท้องตลาดทำให้เกิดความยุ่งยากต่อเภสัชกรในการจัดซื้อเภสัชภัณฑ์เข้าโรงพยาบาลให้มีขนาดยาที่เหมาะสมต่อผู้ป่วยทุกรายด้วยเหตุนี้จึงมีความจำเป็นต้องพัฒนาเภสัชภัณฑ์เหมาะสมเพื่อให้มีการใช้ยาที่օพิลลีนอย่างมีประสิทธิภาพ

2.6 เทคนิคการพิมพ์แบบฉีดหมึก (Ink-jet printing)

เทคโนโลยีการพิมพ์แบบพ่นหมึกเป็นเทคโนโลยีที่มีการใช้กันอย่างแพร่หลายในชีวิตประจำวันไม่ใช่จะเป็นที่บ้านหรือในที่ทำงานใช้ในการพิมพ์งานเอกสารหรือพิมพ์อุปกรณ์ (30) โดยเทคโนโลยีการพิมพ์แบบพ่นหมึกจะแบ่งออกเป็น 2 รูปแบบตามหลักการทำงานคือ การพิมพ์ที่ใช้ระบบพ่นหมึกอย่างต่อเนื่อง (Continuous ink-jet printing) และการพิมพ์ที่ใช้ระบบพ่นหมึกตามสั่ง (Drop-on-demand printing) ดังแสดงในรูปที่ 10



รูปที่ 10 ประเภทของเทคนิคการพิมพ์แบบพ่นหมึก (29)

2.6.1 การพิมพ์ที่ใช้ระบบพ่นหมึกอย่างต่อเนื่อง (Continuous ink-jet printing)

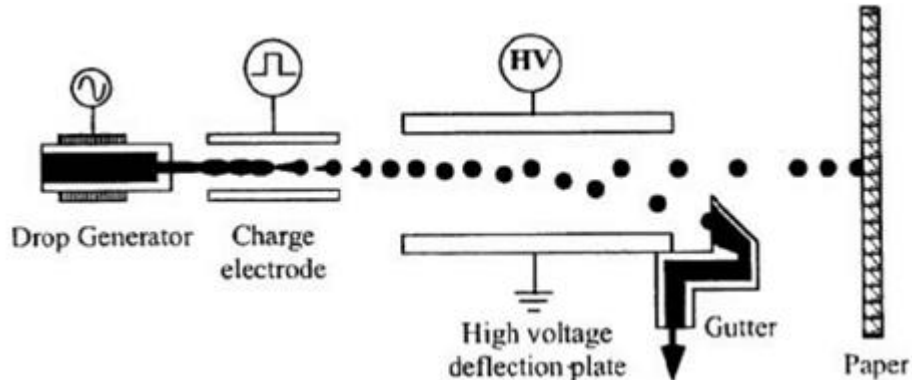
การพิมพ์ที่ใช้ระบบพ่นหมึกอย่างต่อเนื่องเป็นเทคโนโลยีที่นิยมในอุตสาหกรรมสิ่งพิมพ์เนื่องจากพิมพ์ได้ปริมาณครั้งละมาก ๆ และมีความรวดเร็วในการพิมพ์ หลักการทำงานคือ เมื่อสร้างความต่างศักย์ที่ผ่านของตัวบาร์จุหมึกทำให้ผ่านเกิดการเปลี่ยนรูปเป็นเข้าหากันเกิดแรงดันผลักหมึกออกมาผ่านรูที่มีเส้นผ่านศูนย์กลางประมาณ 50 - 80 μm เกิดเป็นสายหมึกที่ต่อเนื่องกัน (4) จากนั้นหมึกจะถูกทำให้เกิดประจุไฟฟ้าโดยตัวสร้างประจุ (Charge electrode) และจะผ่านเข้าสู่สนามไฟฟ้าแล้วเกิดการหักเหในสนามไฟฟ้าไปยังแผ่นรับหมึกซึ่งระบบพ่นหมึกอย่างต่อเนื่องสามารถแบ่งได้เป็น 2 ประเภท

2.6.1.1 Binary deflection system

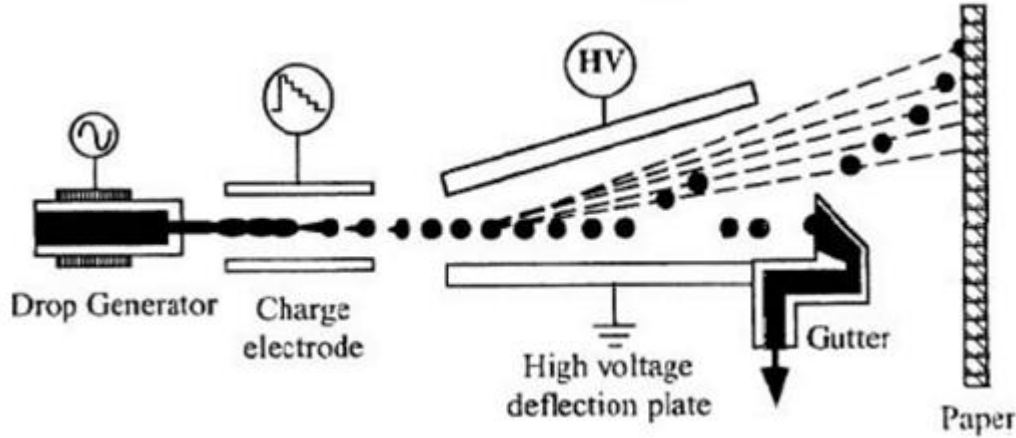
ระบบนี้หยดหมึกจะมีทั้งหยดที่ถูกเหนี่ยวนำให้เกิดประจุและหยดที่ไม่ถูกเหนี่ยวนำให้เกิดประจุโดยหยดที่ถูกทำให้เกิดประจุจะวิ่งตรงออกไปติดบนแผ่นรับส่วนหยดที่ไม่มีประจุจะหักเหไปกราฟบล็อกจับของระบบเกิดการหมุนเวียนกลับไปติดบนหมึก ดังแสดงในรูปที่ 11

2.6.1.2 Multiple deflection system

ระบบนี้หยดหมึกที่ถูกเหนี่ยวนำให้เกิดประจุจะวิ่งหักเหด้วยมุมที่แตกต่างกันไปติดบนแผ่นรับส่วนหยดที่ไม่มีประจุจะวิ่งตรงไปกราฟบล็อกจับของระบบแล้วหมุนเวียนกลับไปติดบนหมึก ดังแสดงในรูปที่ 12



รูปที่ 11 Continuous ink-jet : A binary-deflection system (31)



รูปที่ 12 Continuous ink-jet : Multiple deflection system (31)

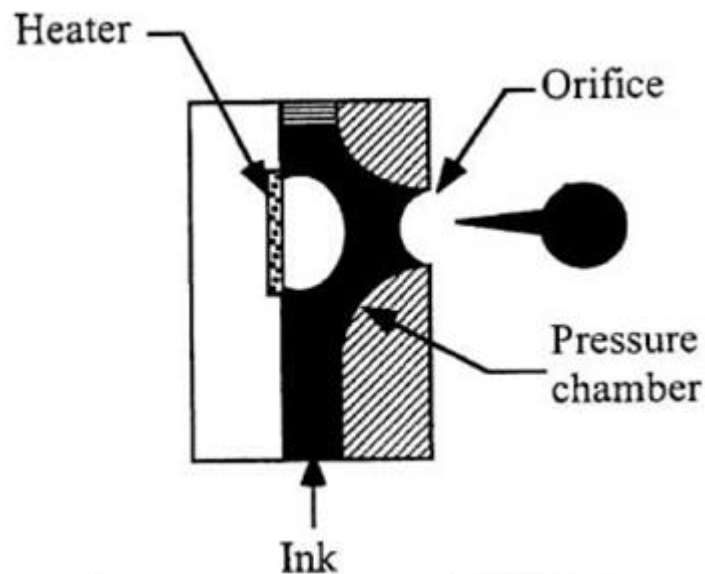
2.6.2 การพิมพ์ที่ใช้ระบบพ่นหมึกตามสั่ง (Drop-on-demand printing)

การพิมพ์ที่ใช้ระบบพ่นหมึกตามสั่ง เป็นเทคนิคที่มีการใช้เป็นส่วนใหญ่ในปัจจุบันเนื่องจากมีความง่ายและมีแม่นยำสูงในราคาน้ำหนักที่เหมาะสมจึงเป็นที่นิยมในท้องตลาด (31) โดยมีหลักการทำงานคือจะมีการพ่นหมึกออกมาเป็นหยดละออง (Droplets) (32) ที่มีความแม่นยำตามความเร็วที่เราต้องการ (33) ซึ่งสามารถแบ่งออกเป็น 4 ประเภท ได้แก่ แบบใช้ความร้อน (Thermal) แบบใช้ความต่างศักย์ (Piezoelectric) แบบใช้ไฟฟ้าสถิต (Electrostatic) และแบบใช้ความเร็วของเสียง (Acoustic ink-jet) แต่ในการใช้งานในท้องตลาดปัจจุบันมักใช้แบบใช้ความร้อนและแบบใช้ความต่างศักย์

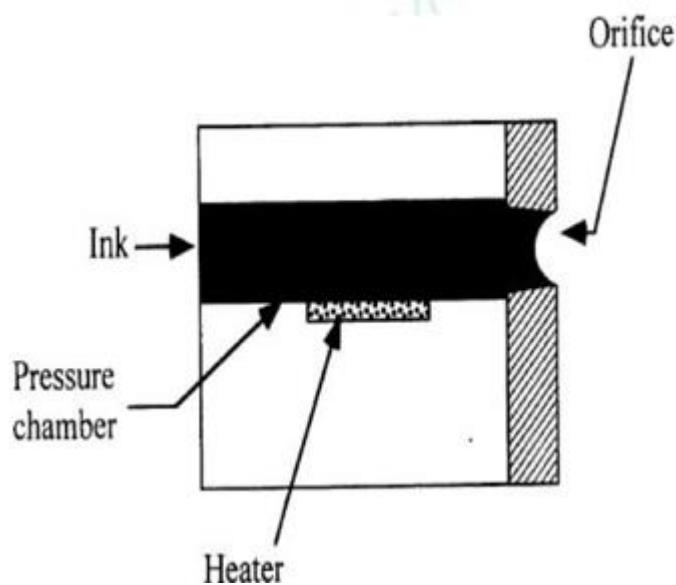
2.6.2.1 การพิมพ์แบบใช้ความร้อน (Thermal ink-jet)

ระบบการพิมพ์ที่อาศัยตัวความร้อน (Heater) ทำให้เกิดไอน้ำหมักซึ่งขยายและดันให้หมึกแตกออกเป็นหยดเล็ก ๆ และถูกผลักออกจากหัวฉีด (Nozzle) (25) ซึ่งจะใช้เวลาในกระบวนการดังกล่าวใช้เวลาในช่วง $3\text{-}20 \mu\text{s}$ โดยตำแหน่งที่ให้ความร้อนแบ่งเป็นการวางด้านข้างต่อวุ่นจะเรียกว่า Side-shooter thermal ink-jet ดังแสดงในรูปที่ 14 และการวางตำแหน่งที่ให้ความร้อนอยู่บนตำแหน่งรูพ่นจะเรียกว่า Roof-shooter thermal ink-jet ดังแสดงในรูป 13 ซึ่งในปี 2011 ได้มีการ

ตีพิมพ์งานวิจัยที่มีเนื้อหาเกี่ยวกับกับเทคนิคพิมพ์ยาแบบใช้ความร้อนยีห้อ HP โดยมี Salbutamol sulphate เป็นยาต้นแบบและใช้กลีเซอรีนเป็นสารให้ความหนืด ขณะการเปลี่ยนรูปผลึกของยาตามถึง ขณะการระหว่างตัวทำละลายและช่วยลดการอุดตันของหัวพ่นเมื่อในเครื่องพิมพ์เครื่องมือที่ใช้ในการวัดคุณสมบัติทางกายภาพมีดังนี้ Ostwald U-tube viscometer ใช้วัดความหนืดโดยใช้น้ำกลั่นเป็นมาตรฐานควบคุมคุณภาพมีที่ 25 ± 0.5 องศาเซลเซียส โดยทำการทดลองในเครื่องอุ่นน้ำ (Water bath) และใช้ไมโครเทนซิโอมิตเตอร์ในการวัดแรงตึงผิว โดยใช้ตัวอย่างสารละลาย 50 ไมโครกรัม โดยใช้น้ำกลั่นที่ 20 องศาเซลเซียส ในการเทียบมาตรฐาน เครื่องมืออัลตราไวโอล็อกต สเปกโตรสโคปี (UV-spectroscopy) และ โครมาโทกราฟีแบบของเหลวสมรรถนะสูง (High-performance liquid chromatography) ใช้วัดปริมาณและความเข้มข้นของยาในตัวรับ วัดการละลายโดยการนำแผ่นฟิล์มวางบนน้ำกลั่น 2 ml ในจานรอง และจับเวลาจนกว่าแผ่นฟิล์มจะกลایเป็นเจลทั้งหมด ผลที่ได้จากการวิจัยนี้พบว่าความหนืดของสารละลายที่เหมาะสมควรอยู่ในช่วง $1.1\text{--}1.5 \text{ mm}^2\text{s}^{-1}$ เนื่องจากหากหนืดน้อยกว่านี้การพ่นเม็ดจะมีแรงโน้มถ่วงเข้ามาเกี่ยวข้องและถ้าหากหนืดมากกว่านี้ยาที่พ่นออกมายังมีปริมาณน้อยเกินไป แรงตึงผิวที่เหมาะสมสำหรับสารละลายที่เป็นน้ำเพื่อให้พ่นยาได้อย่างเหมาะสมสมคือ 55 mN m^{-1} ส่วนการทดลองของงานวิจัยนี้พบว่าแรงตึงผิวของสารละลายที่เตรียมอยู่ในช่วง $46\text{--}71 \text{ mN m}^{-1}$ และพบว่าสามารถพ่นสารละลายได้อย่างดี และจากการทำการทดลองของจุลทรรศน์อิเล็กทรอนแบบส่องกล้อง (Scanning electron microscope) ที่ตกลับหมึกพบว่ารูพ่นเม็ดนั้นมีขนาดที่สามารถพ่นตัวรับยาน้ำแขวนตะกอนอนุภาคขนาดนาโนได้ เช่นเดียวกับตัวรับยาน้ำในส่วนของความร้อนนั้น พบว่าปริมาณของยาที่สัมผัสกับความร้อนมีเมล็ดร้อยละ 0.5 โดยปริมาตรและเวลาที่ยาสัมผัสกับความร้อนอยู่ในหน่วยมิลลิวินาที และเคยมีงานวิจัยก่อนหน้านี้ที่ใช้อินซูลินและไกลสอร์โมนเป็นยาตัวอย่าง พบว่าโปรดีนไม่ถูกสลายด้วยเทคนิคการใช้ความร้อน (1)



รูปที่ 13 Roof-shooter thermal ink-jet (31)



รูปที่ 14 Side-shooter thermal ink-jet (31)

2.6.2.2 แบบใช้ความต่างศักย์ (Piezoelectric ink-jet)

เป็นระบบการพิมพ์ที่อาศัยความต่างศักย์ของไฟฟ้าในการเปลี่ยนรูปทรงผังบิวेणที่ปล่อยหมึกโดยวัสดุที่ใช้เป็นเซรามิกหรือคริสตอลที่สามารถเปลี่ยนขนาดตัวเองได้ถ้ามีกระแสไฟฟ้าไหลผ่านเมื่อมีกระแสไฟฟ้าไหลผ่านเซรามิกจะเกิดแรงกดทับท่อหมึกแล้วสร้างแรงดันหมึกออกไปสู่กระดาษ ความถี่ในการขับหมึกสูงถึง 5000 ครั้งต่อวินาที ตัวอย่างเครื่องพิมพ์ที่ใช้ระบบการพิมพ์นี้ เช่น EPSON โดยในปี 2013 Natalja Genina (34) และคณะวิจัยได้ทำงานวิจัยที่เกี่ยวข้องกับเทคโนโลยีการพิมพ์ยาโดยใช้เทคนิคเครื่องพิมพ์แบบใช้ความต่างศักย์ โดยมีโลเพอราไมด์ (Loperamide) และ caffeine (Caffeine) เป็นยาต้นแบบแล้วพิมพ์ยาลงบนแผ่นน้ำตาลและ 5% Hydroxypropylcellulose (HPC) ที่ใช้เป็นวัสดุใช้พิมพ์ (Substate) พบร่วมกับการผลิตตำรับยาที่มีขนาดยาที่แม่นยำและเป็น personalized เนื่องจากปริมาณยาที่วัดได้ในแต่ละความเข้มข้นที่ทำการพิมพ์มีค่าเบี่ยงเบนมาตรฐานที่ต่ำระดับไมโครกรัม อีกทั้งปริมาณยาที่พิมพ์ลงบนการพิมพ์ที่ใช้ระบบพ่นหมึกตามสั่ง มีความสัมพันธ์เป็นเส้นตรงกับพื้นที่ในการพิมพ์ยาสามารถคำนวณอุณหภูมิเป็นสมการได้

บทที่ 3

วิธีดำเนินการวิจัย

3.1 อุปกรณ์และสารเคมี

3.1.1 สารเคมี

3.1.1.1 ก้มจากเมล็ดมะขาม (*Tamarindus indica* Linn.) จังหวัดสุราษฎร์ธานี

3.1.1.2 ทีโophilลีน (Theophylline, lot No.00099360-A, BASF Aktiengesellschaft)

3.1.1.3 ซอร์บิทอล (Sorbitol, Lot No.,)

3.1.1.4 พาราเบน (Paraben, Lot No.,)

3.1.1.5 โซเดียม อะซิตेट ไตรไฮเดรต (Sodium acetate trihydrate, Lot No.,)

3.1.1.6 กรดน้ำแข็งอย่างแรง (Glacial acetic acid, Lot No.1666615, Fisher chemical)

3.1.1.7 อะซิโนไนตรอล (Acetonitrile, Lot No.15030100, RCI Labscan)

3.1.1.8 เมทานอล (Methanol, Lot No.12040213, RCI Labscan)

3.1.1.9 โมโนโพแทสเซียมฟอสเฟต (Monopotassium phosphate, Lot No.P5104-1-1000, QReC New Zealand)

3.1.1.10 ไดโพแทสเซียมฟอสเฟต (Dipotassium phosphate, Lot No.0911134, Ajax Finechem)

3.1.2 อุปกรณ์และเครื่องมือ

3.1.2.1 เครื่องวัดคุณสมบัติเชิงกล (Texture analyser, TA. XT plus, Stable Micro Systems, UK)

3.1.2.2 เครื่องวิเคราะห์การเลี้ยงเบนของรังสีเอกซ์ (powder X-ray diffractometer, D8, Bruker, Germany)

3.1.2.3 เครื่องล้างความถี่สูง (Ultrasonic cleaner, WUC-D22H, WiseClean, Germany)

3.1.2.4 เครื่องทดสอบการแตกตัว (Disintegration Tester, ZT 322, ERWEKA, Germany)

3.1.2.5 กล้องจุลทรรศน์อิเล็กtronแบบส่องกราด (Scanning electron microscope, LEO1450VP, LEO, UK)

3.1.2.6 เครื่องอินฟราเรดスペคโตรสโคป (Fourier transform infrared spectrometer, NICOLET 6700, Thermo scientific, USA)

3.1.2.7 เครื่องไฮดรอกราฟีของเหลวสมรรถนะสูง (High-performance liquid chromatography, 1260 infinity, Agilent Technologies, USA)

3.1.2.8 เครื่องพิมพ์สองมิติ (Piezoelectric inkjet printing, L220, Epson, Japan)

3.1.2.9 เครื่องช่วยคนสาขาวิชา (Magnetic stirrer with heating and ceramic heating plate, C-MAG HS 7, IKA, Malaysia)

3.1.2.10 เครื่องชั่งน้ำหนักดิจิตอลทศนิยม 4 ตำแหน่ง (Analytical Balances, MS 204, METTLER-TOLEDO, Switzerland)

3.1.2.11 เครื่องชั่งน้ำหนักดิจิตอลทศนิยม 2 ตำแหน่ง (Precision balances, MS3002S, METTLER-TOLEDO, Switzerland)

3. 1. 2. 12 ตู้ดูดความชื้น (Dry Cabinet, M-DYC- 116, Laboratory Equipment Manufacturers, Venus Technology, Thailand)

3.1.2.13 เครื่องวัด pH (Professional pH meter, SevenMulti™ S40, METTLER-TOLEDO, Switzerland)

3.1.2.14 เครื่องปั่นเหวี่ยง (Centrifuges, Sorvall™ Legend™ X1R, Thermo Scientific, USA)

3.1.2.15 เครื่องบดสมุนไพร (Milling Machine, SK 100, RETSCH, Germany)

3.1.2.16 คอลัมน์ (Column, C18 250x4.6mm 5 mcm, SGE Analytical Science, Australia)

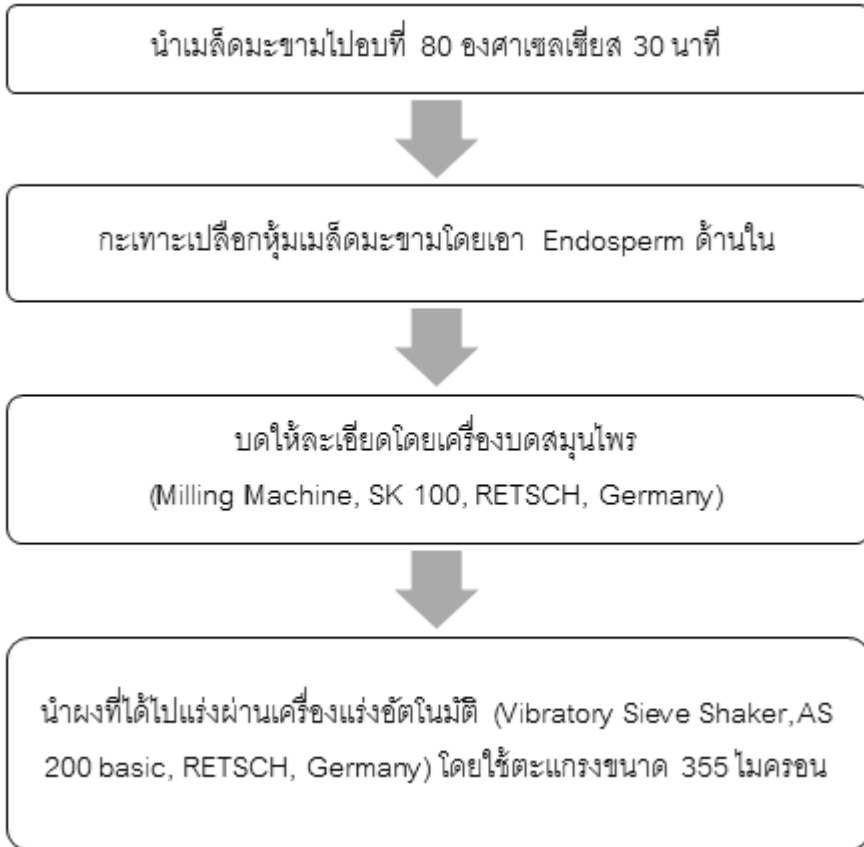
3.1.2.17 เครื่องตอกเม็ดยาแบบไฮดรอลิก (Atlas 15 ton Manual Hydraulic Press, GS15011, Specac LTD, UK)

3.1.2.18 เครื่องหาบปริมาณความชื้น (Moisture meter, MA 150, Sartorius Weighing Technology GmbH, Germany)

3.2 วิธีการทดลอง

3.2.1 การเตรียมผงกัมดิบ

การเตรียมผงกัมดิบมีขั้นตอนการเตรียม ดังแสดงในรูปที่ 15 โดยเริ่มจากนำเม็ดมะขามไปอบที่ 80 องศาเซลเซียส 30 นาที แล้วเปลือกหุ้มเม็ดมะขามโดยกะเทาะเมล็ดให้แตก เหลือเพียงแต่ส่วนที่เป็นสีขาวด้านใน หลังจากนั้นบดให้ละเอียดโดยเครื่องบดสมุนไพร นำผงที่ได้ไปร่วงผ่านเครื่องร่วงอัตโนมัติ โดยใช้ตะแกรงขนาด 355 ไมโครเมตร ดังแสดงในรูปที่ 15 จากนั้นนำผงกัมที่ผ่านร่วงเก็บในตู้ดูดความชื้น เพื่อนำไปทดสอบต่อไป



รูปที่ 15 แสดงขั้นตอนการเตรียมผงกัม

3.2.2 การเตรียมสารละลายยาที่โอลิลีนสำหรับเป็นหมึกพิมพ์ (Ink preparation)

ชั้นยาที่โอลิลีน 830 มิลลิกรัมโดยใช้เครื่องชั่งน้ำหนักดิจิตอล SCN 4 ตำแหน่ง จากนั้นนำไปปรับปริมาตรด้วยน้ำกลันในขวดวัดปริมาตร (Volumetric flask) 100 มิลลิลิตร และนำไปเพิ่มการละลายโดยใช้เครื่องล้างความถี่สูงที่ความถี่ 50% อุณหภูมิ 37 องศาเซลเซียส นาน 15 นาที หลังจากนั้นนำสารละลายยาที่โอลิลีนที่ได้มาเทลงถังน้ำหมึกของเครื่องพิมพ์สองมิติจากนั้นนำไปอัดฉีดเนียมหัวถังน้ำหมึกไว้เพื่อบีบองกันแสง

3.2.3 การเตรียมแผ่นฟิล์ม

เตรียมสารละลายผงกัมจากเมล็ดมะขาม ร้อยละความเข้มข้นต่าง ๆ (ร้อยละ 3.5, 4, 4.5 และ 5 โดยน้ำหนัก) หลังจากนั้นนำสารละลายผงกัมจากเมล็ดมะขามที่ได้ไปปั่นผสมด้วยความเร็วรอบ 600 รอบต่อนาที ที่อุณหภูมิห้องเป็นเวลา 2 ชั่วโมง และปั่นผสมต่อด้วยความเร็วรอบ 600 รอบต่อนาที ที่ อุณหภูมิ 80 องศาเซลเซียสเป็นเวลา 30 นาที ด้วยเครื่องซีวิคคนสาร จากนั้นนำสารละลายที่ได้ทั้งหมด มาซั่งน้ำหนักเพื่อปรับปริมาตรให้ได้ร้อยละความเข้มข้นที่ต้องการ แล้วนำสารละลายผงกัมจากเมล็ด มะขามทำกราหมุนหรี่ยงด้วยเครื่องปั่นหรี่ยงที่ความเร็ว 7,000 รอบต่อนาที เป็นเวลา 15 นาที เท สารละลายผงกัมจากเมล็ดมะขามที่ได้จากการหมุนหรี่ยงลงในบีกเกอร์ใส่สารละลายซอร์บิทอลที่ ความเข้มข้นร้อยละ 10 โดยปริมาตรโดยคิดสารละลายกัมต่อสารละลายซอร์บิทอลที่สัดส่วน 100:0, 99:1, 97:3 และ 95:5 ตามตารางที่ 2 นำสารละลายผงกัมจากเมล็ดมะขามไปกวานด้วยความเร็วรอบ 600 รอบต่อนาทีที่อุณหภูมิห้องเป็นเวลา 5 นาที เทสารละลายปริมาณ 190 กรัม ลงในแม่พิมพ์ นำเข้า ตู้อบที่อุณหภูมิ 60 องศาเซลเซียสเป็นเวลา 18 ชั่วโมง ลอกแผ่นฟิล์มออกจากพิมพ์ แล้วนำไปเก็บในตู้ ดูดความชื้น

ตารางที่ 2 แสดงความเข้มข้นกัมจากมะขามของแผ่นฟิล์ม

แผ่นที่	สูตรตัวรับ
1	กัมจากมะขามร้อยละ 3.5 โดยน้ำหนัก 100 : 0 ซอร์บิทอล
2	กัมจากมะขามร้อยละ 3.5 โดยน้ำหนัก 99 : 1 ซอร์บิทอล
3	กัมจากมะขามร้อยละ 3.5 โดยน้ำหนัก 97 : 3 ซอร์บิทอล
4	กัมจากมะขามร้อยละ 3.5 โดยน้ำหนัก 95 : 5 ซอร์บิทอล
5	กัมจากมะขามร้อยละ 4 โดยน้ำหนัก 97 : 3 ซอร์บิทอล
6	กัมจากมะขามร้อยละ 4.5 โดยน้ำหนัก 97 : 3 ซอร์บิทอล
7	กัมจากมะขามร้อยละ 5 โดยน้ำหนัก 97 : 3 ซอร์บิทอล

3.2.4 การพิมพ์ยา

เตรียมสารละลายยาที่โโคฟิลลีนความเข้มข้น 5 มิลลิกรัมต่อมิลลิลิตร ปริมาตร 100 มิลลิลิตร ในขวดปรับปริมาตร (Volumetric flask) ขนาด 100 มิลลิลิตร แล้วนำไปเพิ่มการละลายด้วยเครื่องล้างความถี่สูง 20 นาทีโดยให้อุณหภูมิเนย์มแ芬ห่อขวดปรับปริมาตรไว้เพื่อป้องกันแสง หลังจากนั้นนำไปเทใส่ถังหมึกสีดำของเครื่องพิมพ์ นำแผ่นฟิล์มกัมจากมะขามมาเย็บไว้กับกระดาษและนำไปพิมพ์ขนาด 2x2 ตารางเซนติเมตร 4x3 ตารางเซนติเมตร และ 4x5 ตารางเซนติเมตร โดยจะพิมพ์ 1 ชั้น 3 ชั้น และ 5 ชั้น แต่ละครั้งที่พิมพ์ชั้นจะพิมพ์ชั้นห่างกัน 5 นาที เพื่อรอให้แผ่นฟิล์มแห้งก่อนจึงทำการพิมพ์ชั้น

3.2.5 การประเมินคุณสมบัติของแผ่นพิล์มละลายในช่องปาก

3.2.5.1 คุณสมบัติเชิงกลของแผ่นพิล์ม ได้แก่

3.2.5.1.1 ความทนต่อแรงดึง (Tensile strength) และร้อยละของการยืด (Percent elongation)

การวัดความเค้นต่อแรงดึง และร้อยละของการยืด (Percent elongation) ทำได้โดยการใช้เครื่อง Texture analyser โดยตัดตัวอย่างแผ่นพิล์มขนาด 2×2 เซนติเมตรแล้วนำไปปั๊มเกาบนที่ยืด 2 ด้าน(บนและล่าง) ที่ห่างกัน 1 เซนติเมตรจากกันนั้นดึงที่ยืดเกาให้เคลื่อนที่ขึ้นด้วยอัตราเร็ว 100 มิลลิเมตรต่อนาทีและใช้แรงในการดึง 0.05 นิวตัน ค่าน้ำหนักที่สูงที่สุดในการทำให้แผ่นพิล์มขาดเพื่อคำนวณ ความเค้นต่อแรงดึง (Tensile strength) คำนวณโดย ค่าแรงที่สูงที่สุดในการทำให้แผ่นพิล์มขาดหารด้วยพื้นที่ตัดของแผ่นพิล์มและความยาวก่อนและหลังการทำในแต่ละสูตร ของสารละลาย พอลิเมอร์และทำข้ามอย่างละ 6 ครั้ง (28) ตามสมการดังต่อไปนี้

$$\text{ความทนต่อแรงดึง (Tensile strength)} = \frac{\text{ค่าแรงที่สูงที่สุดในการทำให้แผ่นพิล์มขาด}}{\text{พท.ตัดของแผ่นพิล์ม}} \quad (1)$$

$$\text{ร้อยละของการยืด (Percent elongation)} = \frac{\text{ความยาว ณ จุดขาด} - \text{ความยาวเริ่มต้น}}{\text{ความยาวเริ่มต้น}} \times 100 \quad (2)$$

3.2.5.1.2 ความแข็งเกร็ง (Young's modulus)

หมายความว่าของยังหรือมอดุลัสของสภาพยืดหยุ่นเป็นการวัดความแข็งเกร็ง (Stiffness) ของแผ่นพิล์มที่สามารถคำนวณได้จากอัตราส่วนของความเค้น (Stress) ต่อความเครียด (Strain) ตามสมการด้านล่าง

$$\text{มอดุลัสของสภาพยืดหยุ่น} = \frac{\text{ความเค้น}}{\text{ความเครียด}} \quad (3)$$

กรณีที่แผ่นฟิล์มมีความแข็งและเปราะแสดงว่าแผ่นฟิล์มมีค่า Tensile strength มากและมีค่า Young's modulus น้อย (7)

3.2.5.2 คุณสมบัติทางเคมีและกายภาพ

3.2.5.2.1 การวิเคราะห์ลักษณะสัณฐานของแผ่นฟิล์มละลายในช่องปากโดยกล้องจุลทรรศน์อิเล็กtronแบบส่องกราด (Scanning Electron Microscope : SEM)

กล้องจุลทรรศน์อิเล็กtronแบบส่องกราดเป็นกล้องจุลทรรศน์ที่ใช้อิเล็กtronเป็นแหล่งกำเนิดแสง เป็นเครื่องมือที่ใช้ศึกษาลักษณะสัณฐานของวัสดุในระดับจุลภาค ซึ่งเป็นรายละเอียดที่เล็กมาก

การทดสอบสัณฐานวิทยาโดยกล้องจุลทรรศน์อิเล็กtronแบบส่องกราดมีขั้นตอนการเดี๋ยมตัวอย่างดังนี้ ติดเทปกราดบน stub จากนั้นลองกราดซอกแล้วใช้มีพันสำลีแตะตัวอย่างเคาะเบาๆ บน Stub ที่ติดเทปสองหน้าไว้แล้วถูกลอย่างเปาส่วนเกินออกแล้วนำไปจับผิวด้วยทองคำไปทดสอบด้วยกล้องจุลทรรศน์อิเล็กtronแบบส่องกราดที่กำลังขยาย 1000x บันทึกภาพจากหน้าจอโทรทัศน์

3.2.5.2.2 โครงสร้างของผลึกไม่เลกุลยานนแผ่นฟิล์มโดยใช้เครื่องทดสอบการเลี้ยวเบนของรังสีเอกซ์แบบผง (Powder x-ray diffraction)

Powder x-ray diffraction คือเทคนิคสารตัวอย่างที่จะวิเคราะห์ด้วยถูกบดให้ละเอียด แล้วนำไปวัดเพื่อหาค่ามุมเลี้ยวเบน และความเข้มของ X-Ray ที่เลี้ยวเบนออกมาม และมี Recorder ที่ทำหน้าที่ Plot ความเข้ม X-Ray ที่เลี้ยวเบนออกมาระบบกับมุมที่เลี้ยวเบน (2 เซตต้า) แบบอัตโนมัติ โดยมีขั้นตอนการทำโดยนำตัวอย่างของยาที่อิพลีนถูกวิเคราะห์ด้วยเทคนิคการเลี้ยวเบนของรังสีเอกซ์ด้วยสภาวะดังนี้ ใช้ตัวแยกแสงชนิดแกรไฟต์ (Monochromator) ใช้ Cu K_α เป็นแหล่งกำเนิดรังสีเอกซ์ ใช้ความต่างศักย์ 45 กิโลโวลต์ กระแสไฟฟ้า 40 มิลลิแอมป์ ใช้ slit แบบ

diffraction slit แบบเดี่ยว และ soller slits แบบเดี่ยว และ receiving slit ความกว้างของแต่ละช่องคือ 0.15 นาโนเมตร scanning ratio : $2\Theta = 5^\circ \text{ min}^{-1}$

3.2.5.2.3 ดูลักษณะโครงสร้างของยาทีโอฟลีนโดยใช้เครื่องอินฟราเรดสเปกโตรสโคปี (Fourier transform infrared spectrometer)

ดูลักษณะโครงสร้างของยาทีโอฟลีนโดยใช้เครื่องอินฟราเรดสเปกโตรสโคปี มีขั้นตอนดังนี้ ผสมผงยา กับ ผงโพแทสเซียมไบเมดีในอัตราส่วน 1:100 ในภาชนะน้ำมันน้ำสารผสมที่ได้ทำการตอกเป็นแผ่นบางด้วยเครื่องอัดไฮดรอลิก (Hydrolic pressure) แล้วนำไปทดสอบด้วยเครื่องอินฟราเรดสเปกโตรสโคปี (Fourier Transform Infrared Spectrometer) วิเคราะห์ผลที่ได้

3.2.5.3 ความหนาแผ่นพิล์ม (Thickness)

วัดความหนาของแผ่นพิล์มโดยใช้เครื่อง Microprocess coating-thickness gauge และตัดแผ่นพิล์มขนาด 2×2 เซนติเมตรจากนั้นใช้เครื่องวัดแตะไปที่แผ่นพิล์มแล้วรออ่านผลที่วัดได้ ทำซ้ำ 5 ครั้ง หากค่าเฉลี่ยและส่วนเบี่ยงเบนมาตรฐาน

3.2.5.4 ความชื้นของแผ่นพิล์ม (Moisture content)

กดปุ่มเปิดเครื่อง เตรียมตัวอย่างที่ต้องการวัด คือ แผ่นพิล์มแต่ละตัวรับขนาด 12 ตารางเซนติเมตร (มีน้ำหนักประมาณ 2 กรัม) เปิดฝาเครื่องและใส่กระถุงอลูมิเนียมเส้นผ่านศูนย์กลาง 92 มิลลิเมตร เลือกคำสั่ง “ปรับน้ำหนักให้เป็นศูนย์ (TARE)” และกดยืนยัน ใส่แผ่นพิล์มแต่ละตัวที่ต้องการวัดลงบนกระถุง ปิดฝาเครื่องและเครื่องจะทำการวัดโดยอัตโนมัติหลังเวลาสองวินาที บันทึกผลที่ได้

3.2.5.5 ระยะเวลาการแตกตัวของแผ่นฟิล์ม (Disintegration time)

การวิเคราะห์เวลาที่ใช้ในการแตกตัวของแผ่นแผ่นฟิล์ม (Disintegration Time) ตามมาตรฐาน USP 36 NF 30 ยังไม่มีวิธีวัดการแตกตัวของแผ่นแผ่นฟิล์มละลายในช่องปากอย่างแน่นอน ผู้วิจัยจึงทำ การทดสอบสมมุติยาเม็ด โดยใช้เครื่องทดสอบการแตกตัว ทำการควบคุมน้ำที่มีอุณหภูมิ 37 ± 1 องศาเซลเซียส ตามอุณหภูมิภายในร่างกายของมนุษย์ นำตัวอย่างใส่ในหลอดแก้ว 1 หลอดของตะกร้า (Basket Rack Assembly) หลอดละ 1 แผ่น เดินเครื่องเพื่อถูกการแตกตัวของแผ่นฟิล์มตัวอย่าง รอจนกว่าทั้งไม่มีส่วนของแผ่นฟิล์มติดอยู่บนตะกร้าของเครื่อง จึงบันทึกเวลาที่ผ่านไปจากเริ่มต้น หากเกินกว่า 30 นาทีให้หยุดเครื่องแล้วบันทึกเวลาคือมากกว่า 30 นาที

3.2.5.6 การวิเคราะห์การปลดปล่อยยาออกจากแผ่นฟิล์ม (In vitro dissolution profile)

การวิเคราะห์การปลดปล่อยตัวยาออกจากแผ่นฟิล์มแตกตัวในปากปัจจุบันยังไม่มีวิธีวิเคราะห์ที่ชัดเจน ทางผู้วิจัยจึงได้ทำการทดลองตามงานวิจัยของ Aliaa N. ElMeshad และ Arwa S. El Hagrasy (35) เป็นการทดสอบเพื่อใช้เป็นตัวแทนบ่งบอกถึงความสมพันธ์ระหว่างการปลดปล่อยของยาที่เกิดขึ้น ในร่างกายและที่เกิดขึ้นโดยการทดลองภายนอกร่างกายจะแสดงให้ทราบว่าเมื่อเวลาผ่านไปจะมีปริมาณยาถูกปลดปล่อยออกมากเท่าใด

3.2.5.6.1 การสร้างกราฟมาตรฐานยาที่โอลิลีน

เตรียมสารละลาย ความเข้มข้น 5 มก./มล. โดยซึ่งลงยาที่โอลิลีน 50 มิลลิกรัม ใส่ในขวดปรับปริมาตรขนาด 50 มิลลิลิตร ละลายและปรับปริมาตรด้วยน้ำกลัน เจือจางให้ได้ความเข้มข้นตามตารางที่ 3 จากนั้นนำไปวัดตัวยาเครื่องโครมาไทกราฟของเหลวสมรรถนะสูงที่ความยาวคลื่น 280 นาโนเมตร วัสดุภาคคงที่ (Stationary phase) ที่ใช้เป็น C18 คอลัมน์เฟสข้อนอกลับ 250×4.6 มิลลิเมตร วัสดุภาคเคลื่อนที่ (Mobile phase) ที่ใช้เป็นสารละลายบัฟเฟอร์โซเดียมอะซิตेट ไตรไอเดอต (ตาม USP 35 NF 30) โดยฉีดสารละลายละ 50 ไมโครลิตร เป็นเวลาตัวอย่างละ 45 นาที พีคที่สนใจคือพีคที่เวลา

ประมาณ 17 นาที นำค่าพื้นที่ให้พีคที่ได้มาสร้างกราฟมาตรวัสดุ์ระหว่างความเข้มข้นของยาที่โอดิลลีน กับค่าพื้นที่ให้พีค เพื่อหาสมการมาตรวัสดุ์

ตารางที่ 3 แสดงให้เห็นถึงความเข้มข้นของยาแต่ละขวดที่นำไปสร้างกราฟมาตรวัสดุ์ของยาที่โอดิลลีน

ขวดที่	ความเข้มข้น (มก./มล.)
1	0.0005
2	0.00125
3	0.0025
4	0.005
5	0.0125
6	0.025
7	0.05
8	0.125
9	0.25
10	0.5
11	1.25
12	2.5
13	5

3.2.5.6.2 การเตريยมสารละลายนอกสเปตบัฟเฟอร์ pH 6.8 (อัตราส่วนการเตริยมสำหรับ 2,000 มิลลิลิตร)

ชั้งโนโนโนโพแทสเซียมฟอสเฟตมาจำนวน 136.09 กรัมและไดโพแทสเซียมฟอสเฟตจำนวน 174.18 กรัม ละลายในน้ำกลั่นอย่างละ 1 ลิตรจนหมด จากนั้นแบ่งสารละลายนอนโนโนโนโพแทสเซียมฟอสเฟต 100.6 มิลลิลิตร ในขวดปรับปริมาณ 2,000 มิลลิลิตร ปรับปริมาณด้วยน้ำกลั่น วัดค่า pH ของสารละลายนอกสเปตบัฟเฟอร์ที่ได้ด้วยเครื่องวัด pH หากเป็นกรดปรับ pH ด้วย สารละสายโซเดียมไฮดรอกไซด์ (NaOH) หากเป็นด่างปรับ pH ด้วยสารละสายไฮโดРОคลอไวคิ (HCl)

3.2.5.6.3 การทดสอบการปลดปล่อยตัวยาออกจากการแผ่นฟิล์ม (Dissolution)

เตริยมเครื่องมือ Dissolution apparatus II (Paddle apparatus) และเติมสารละลายนอกสเปตบัฟเฟอร์ pH 6.8 ปริมาณ 250 mL ลงใน Vessel 4 หลุม กำหนดอุณหภูมิ 37 ± 0.5 องศาเซลเซียส และความเร็วในการหมุนใบพัด 50 รอบต่อนาที จากนั้นนำแผ่นฟิล์มขนาด 2×2 ตารางเซนติเมตรที่พิมพ์ยา 1 ครั้งไปติดกระจากสไลด์ แล้วนำกระจากสไลด์ไปวางใน Vessel 4 หลุม แต่ละหลุมทำการเก็บตัวอย่างสารละลายน้ำอย่างปริมาณ 3 มิลลิลิตร ณ จุดเวลาต่างๆ คือ นาทีที่ 1, 3, 5, 10, 15, 20, 25, 30, 45, 60 และ 120 นาที โดยจะเติมสารละลายนอกสเปตบัฟเฟอร์ลงไป 3 มิลลิลิตรทุกครั้งที่ทำการเก็บสารละลายน้ำอย่างอุ่นมา เมื่อได้สารละลายน้ำอย่าง ณ เวลาต่างๆแล้วจะทำการกรองด้วย Syringe filter ปริมาณ 1 มิลลิลิตรใส่ HPLC vial เพื่อนำไปวัดด้วยเครื่องクロมาโทกราฟิของเหลวสมรรถนะสูงที่ความยาวคลื่น 280 นาโนเมตร วัสดุภาคคงที่ (Stationary phase) ที่ใช้เป็น C18 คอลัมน์เพสย้อนกลับ 250×4.6 มิลลิเมตร วัสดุภาคเคลื่อนที่ (Mobile phase) ที่ใช้เป็นสารละลายนอกสเปตบัฟเฟอร์โซเดียมอะซิเตท ไตรไฮเดรท (ตาม USP 35 NF 30) โดยฉีดสารละลายน้ำอย่างต่ออย่างละ 50 ไมโครลิตร เป็นเวลาตัวอย่างละ 45 นาที พีคที่สนใจคือพีคที่เวลาประมาณ 17 นาที

3.2.5.7 ปริมาณยาบนแผ่นฟิล์ม (Drug loading)

นำแผ่นฟิล์มไปพิมพ์ยาที่โอลีนขนาด 2x2 ตารางเซนติเมตร พิมพ์ยา 1 ชั้า 3 ชั้า และ 5 ชั้า อย่างละ 3 แผ่น ขนาด 4x3 และ 4x5 ตารางเซนติเมตรพิมพ์ยา 1 ชั้า จำนวน 3 แผ่น หลังจากนั้นตัดแผ่นฟิล์มบริเวณที่มียาไปคละลายด้วยสารละลายบัฟเฟอร์โซเดียมอะซีเตท ไตรอิโซเดรอ (ตาม USP 35 NF 30) ในขวดปั๊บปริมาตรขนาด 50 มิลลิลิตรจนหมด นำไปกรองด้วย Syringe filter ใส่ HPLC vial แล้วนำไปวัดด้วยเครื่องโครมาโทกราฟีของเหลวสมรรถนะสูงที่ความยาวคลื่น 280 นาโนเมตร วัฏภาคคงที่ที่ใช้เป็น C18 คอลัมน์เฟสย้อนกลับ 250x4.6 มิลลิเมตร วัฏภาคเคลื่อนที่ที่ใช้เป็นสารละลายบัฟเฟอร์โซเดียมอะซีเตท ไตรอิโซเดรอ (ตาม USP 35 NF 30) โดยฉีดสารละลายตัวอย่างตัวอย่างละ 50 ไมโครลิตร เป็นเวลาตัวอย่างละ 45 นาที พิคที่สนใจคือพิคที่เวลาประมาณ 17 นาที เพื่อนำไปวิเคราะห์หาปริมาณตัวยาสำคัญบนแผ่นฟิล์ม

3.3 สถิติและการวิเคราะห์ข้อมูล

นำข้อมูลที่ได้จากการศึกษามากาเคลี่ยและส่วนเบี่ยงเบนมาตรฐาน แสดงผลในรูป mean \pm S.D. วิเคราะห์ด้วยสถิติ One way ANOVA โดยใช้โปรแกรม SPSS version 24.0

บทที่ 4

ผลการวิจัย

4.1 ผลการวัดคุณสมบัติเชิงกลของแผ่นพิล์ม

ตารางที่ 4 แสดงค่าความเคี้น (Stress) ความเครียด (Strain) ร้อยละการยืด ณ จุดแตกหัก (%Elongation at break) และค่ามอดูลัสความยืดหยุ่น (Modulus of elasticity) ของแผ่นพิล์มที่มีการเปลี่ยนแปลงค่าความเข้มข้นของกัมจากมะขามและอัตราส่วนของชอร์บิทอลโดย

F1 คือกัมจากมะขามร้อยละ 3.5 โดยน้ำหนัก 100 : 0 ชอร์บิทอล

F2 คือกัมจากมะขามร้อยละ 3.5 โดยน้ำหนัก 99 : 1 ชอร์บิทอล

F3 คือกัมจากมะขามร้อยละ 3.5 โดยน้ำหนัก 97 : 3 ชอร์บิทอล

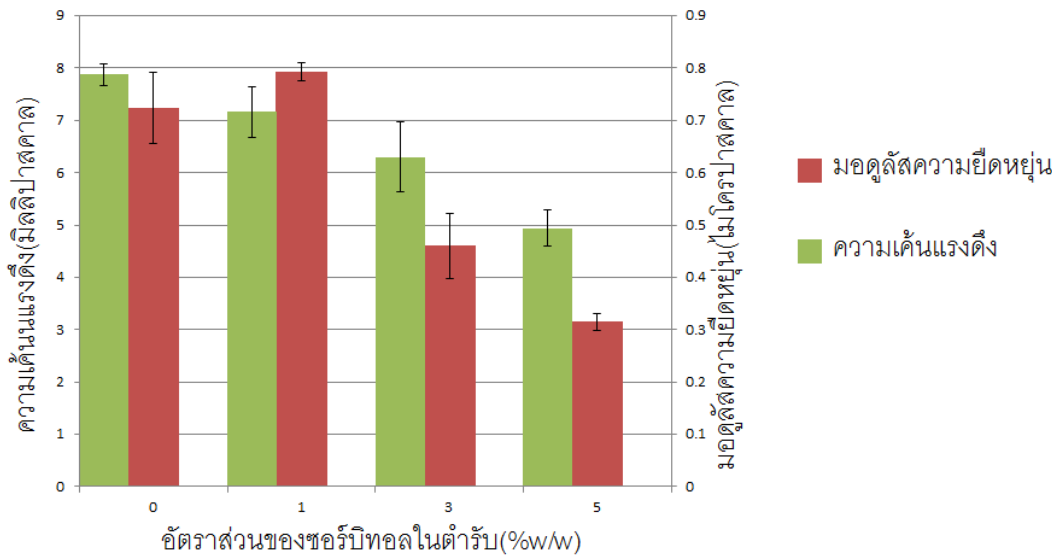
F4 คือกัมจากมะขามร้อยละ 3.5 โดยน้ำหนัก 95 : 5 ชอร์บิทอล

F5 คือกัมจากมะขามร้อยละ 4 โดยน้ำหนัก 97 : 3 ชอร์บิทอล

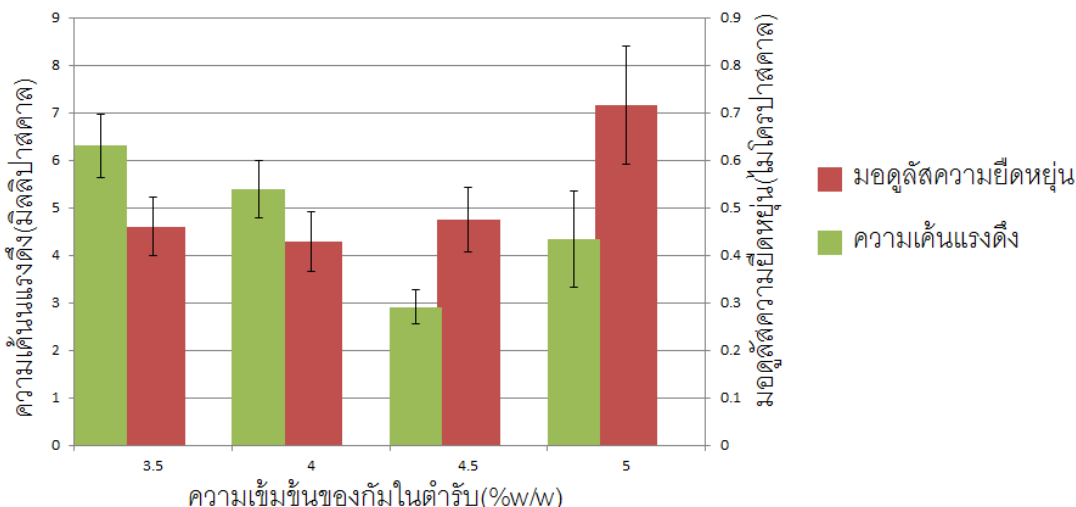
F6 คือกัมจากมะขามร้อยละ 4.5 โดยน้ำหนัก 97 : 3 ชอร์บิทอล

F7 คือกัมจากมะขามร้อยละ 5 โดยน้ำหนัก 97 : 3 ชอร์บิทอล

ສູດຕໍາວັບ	ຄວາມເຄື່ນ ແຈງດື່ງ (Tensile strength)	ຮອຍລະກາຮົດ ດີ ຈຸດແຕກຫັກ (% Elongation at break)	ມອດຸລັສຄວາມຢືດຫຍຸ້ນ (Modulus of elasticity)
F1	7.88±0.21	25.20±2.37	0.000725±0.000068
F2	7.16±0.48	26.98±5.92	0.000793±0.000174
F3	6.30±0.67	39.87±3.20	0.000460±0.000062
F4	4.94±0.34	53.78±4.29	0.000315±0.000016
F5	5.38±0.60	36.71±6.49	0.000429±0.000063
F6	2.91±0.36	24.26±5.18	0.000475±0.000067
F7	4.34±1.02	24.22±9.66	0.000715±0.000124



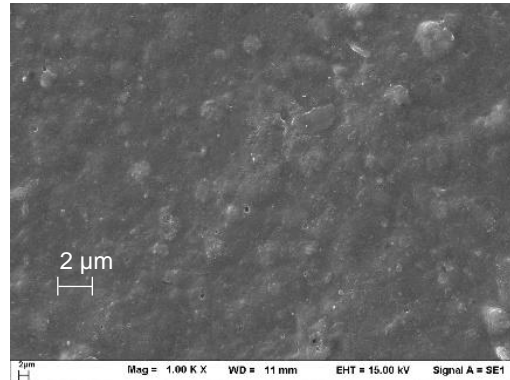
รูปที่ 16 แสดงความสัมพันธ์ของความเค็นและมอดูลัสความยืดหยุ่นต่ออัตราส่วนของชอร์บิทอลในตัวรับ



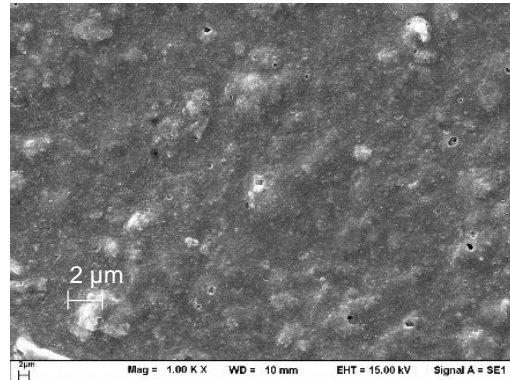
รูปที่ 17 แสดงความสัมพันธ์ของความเค็นและมอดูลัสความยืดหยุ่นต่อความเข้มข้นของกัมในตัวรับ

4.2 ผลคุณสมบัติทางเคมีและกายภาพ

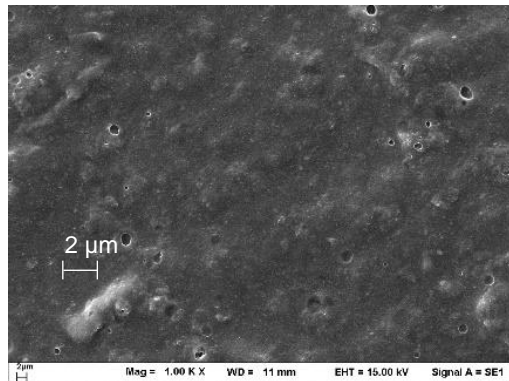
4.2.1 การวิเคราะห์ลักษณะสัณฐานของแผ่นฟิล์มละลายในช่องปากโดยกล้องจุลทรรศน์อิเล็กtronแบบส่องกราด (Scanning Electron Microscope : SEM)



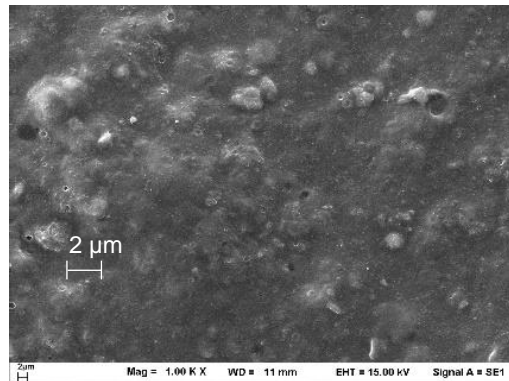
ก. ก้มจากมะขามร้อยละ 3.5 โดยน้ำหนัก
97 : 3 ซอร์บิทอล



ข. ก้มจากมะขามร้อยละ 4 โดยน้ำหนัก 97 :
3 ซอร์บิทอล

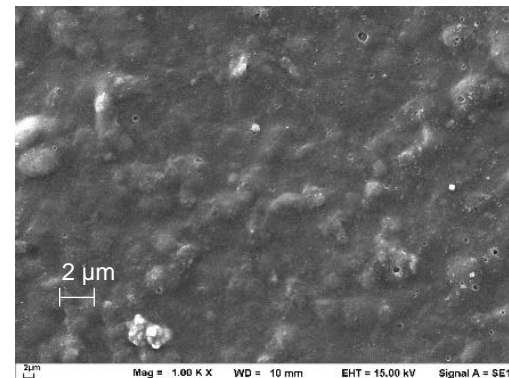
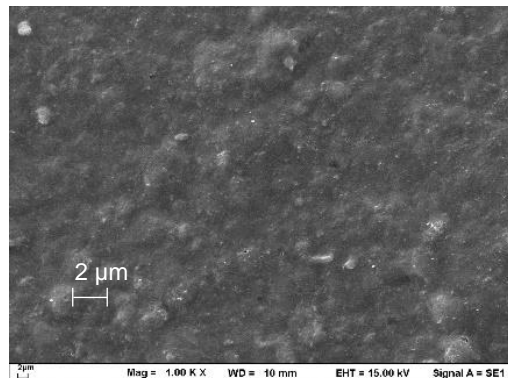
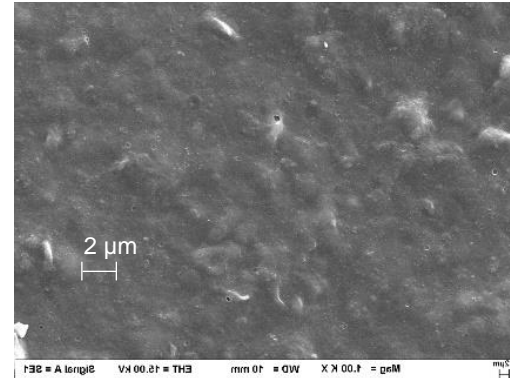
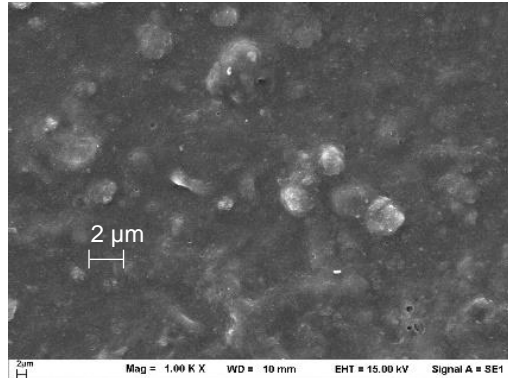


ค. ก้มจากมะขามร้อยละ 4.5 โดยน้ำหนัก
97 : 3 ซอร์บิทอล



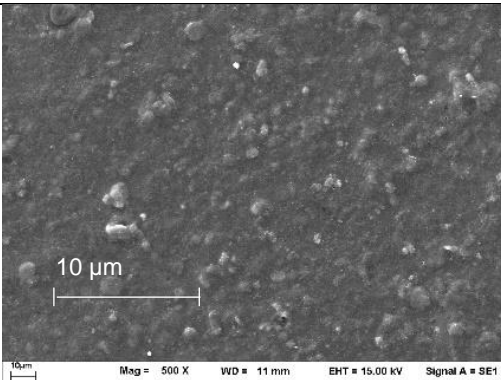
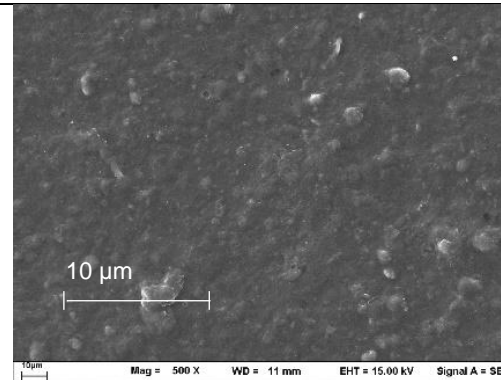
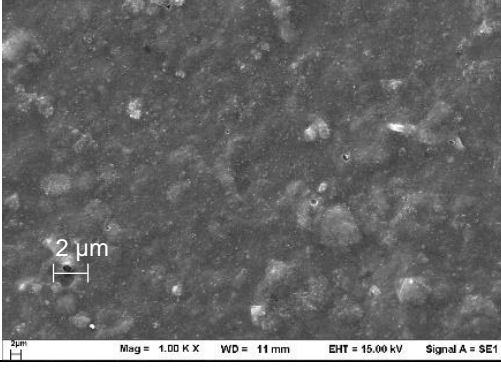
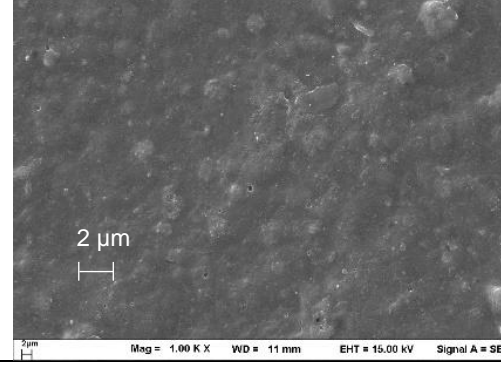
ง. ก้มจากมะขามร้อยละ 5 โดยน้ำหนัก 97 :
3 ซอร์บิทอล

รูปที่ 18 แสดงพื้นผิวของแผ่นฟิล์มที่มีความเข้มข้นของก้มจากมะขามแตกต่างกัน (ก. Gum 3.5% sorbitol 3%, ข. Gum 4% sorbitol 3%, ค. Gum 4.5 % sorbitol 3%, ง. Gum 5% sorbitol 3%) ที่ได้จากการส่องกล้องจุลทรรศน์อิเล็กtronแบบส่องกราดที่กำลังขยาย 1000 เท่า



รูปที่ 19 แสดงพื้นผิวของแผ่นฟิล์มที่มีความเข้มข้นของชอร์บิทอลแตกต่างกัน (ก. ก้มจากมะขามร้อยละ 3.5 โดยน้ำหนัก 100 : 0 ชอร์บิทอล, ข. ก้มจากมะขามร้อยละ 3.5 โดยน้ำหนัก 99 : 1 ชอร์บิทอล, ค. ก้มจากมะขามร้อยละ 3.5 โดยน้ำหนัก 97 : 3 ชอร์บิทอล, ง. ก้มจากมะขามร้อยละ 3.5 โดยน้ำหนัก 95 : 5 ชอร์บิทอล) ที่ได้จากการส่องกล้องจุลทรรศน์อิเล็กtronแบบส่องภาพที่กำลังขยาย 1000 เท่า

ตารางที่ 5 แสดงการเปรียบเทียบพื้นผิวของแผ่นฟิล์มจากกัมความเข้มข้นร้อยละ 3.5 ซอร์บิทอลร้อยละ 3 ระหว่างบริเวณที่ผ่านการพิมพ์ด้วยยา (D) กับบริเวณที่ไม่ได้ผ่านการพิมพ์ด้วยยา (F) ด้วยกล้องจุลทรรศน์อิเล็กtrononแบบสองกราดที่กำลังขยาย 500 เท่าและ 1000 เท่า

กำลังขยาย	กัมจากมะขามร้อยละ 3.5 โดยน้ำหนัก 97 : 3 ซอร์บิทอล ผ่านการพิมพ์ยา (D)	กัมจากมะขามร้อยละ 3.5 โดยน้ำหนัก 97 : 3 ซอร์บิทอล ไม่ได้ผ่านการพิมพ์ยา (F)
500 เท่า	 <p>10 μm</p> <p>10 μm Mag = 500 X WD = 11 mm EHT = 15.00 kV Signal A = SE1</p>	 <p>10 μm</p> <p>10 μm Mag = 500 X WD = 11 mm EHT = 15.00 kV Signal A = SE1</p>
1000 เท่า	 <p>2 μm</p> <p>2 μm Mag = 1.00 K X WD = 11 mm EHT = 15.00 kV Signal A = SE1</p>	 <p>2 μm</p> <p>2 μm Mag = 1.00 K X WD = 11 mm EHT = 15.00 kV Signal A = SE1</p>

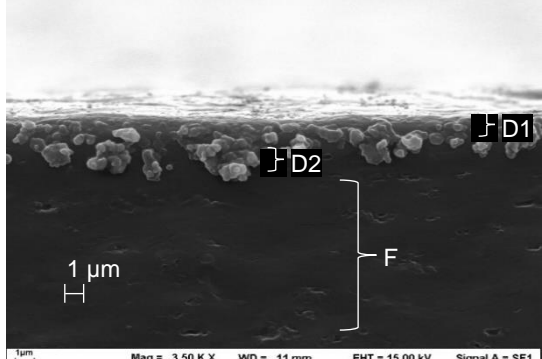
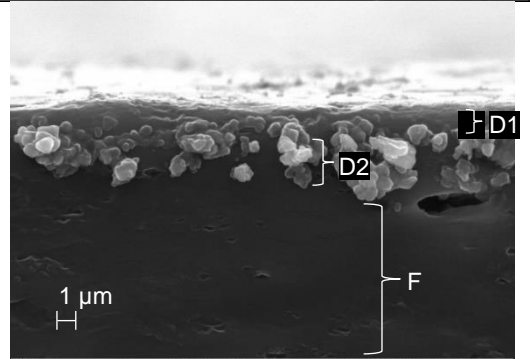
ตารางที่ 6 แสดงพื้นผิวแนวตั้งขวางของแผ่นฟิล์มจากกัมความเข้มข้น 3.5% ซูบิтол 3% ที่ผ่านกระบวนการพิมพ์ด้วยยา ด้วยกล้องจุลทรรศน์อิเล็กตรอนแบบส่องการดึงที่กำลังขยาย 3500 เท่าและ 5000 เท่า

หมายเหตุ

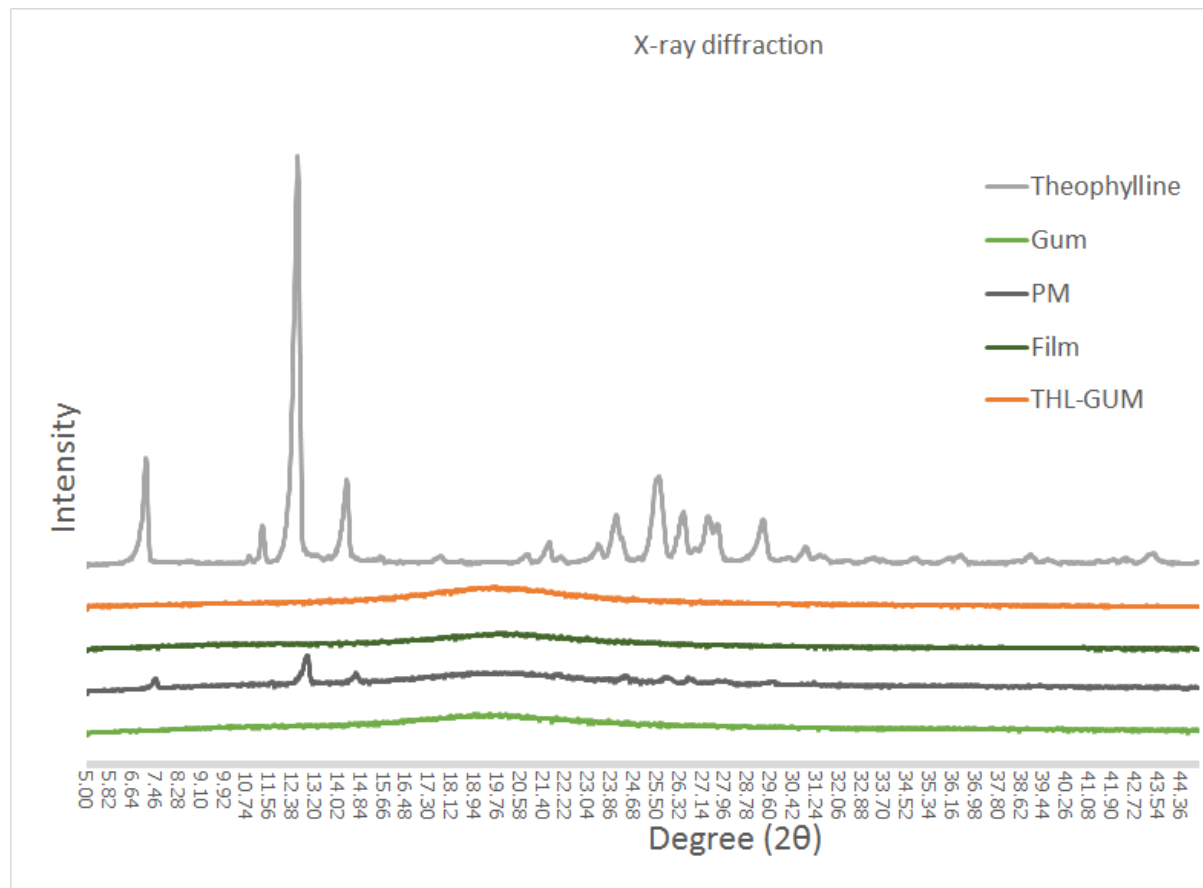
D1 แสดงบริเวณที่ยาดูดซับอยู่บนแผ่นฟิล์ม

D2 แสดงบริเวณที่ยาถูกดูดซึมเข้าไปในแผ่นฟิล์ม

F แสดงบริเวณเนื้อของแผ่นฟิล์มที่ไม่มียา

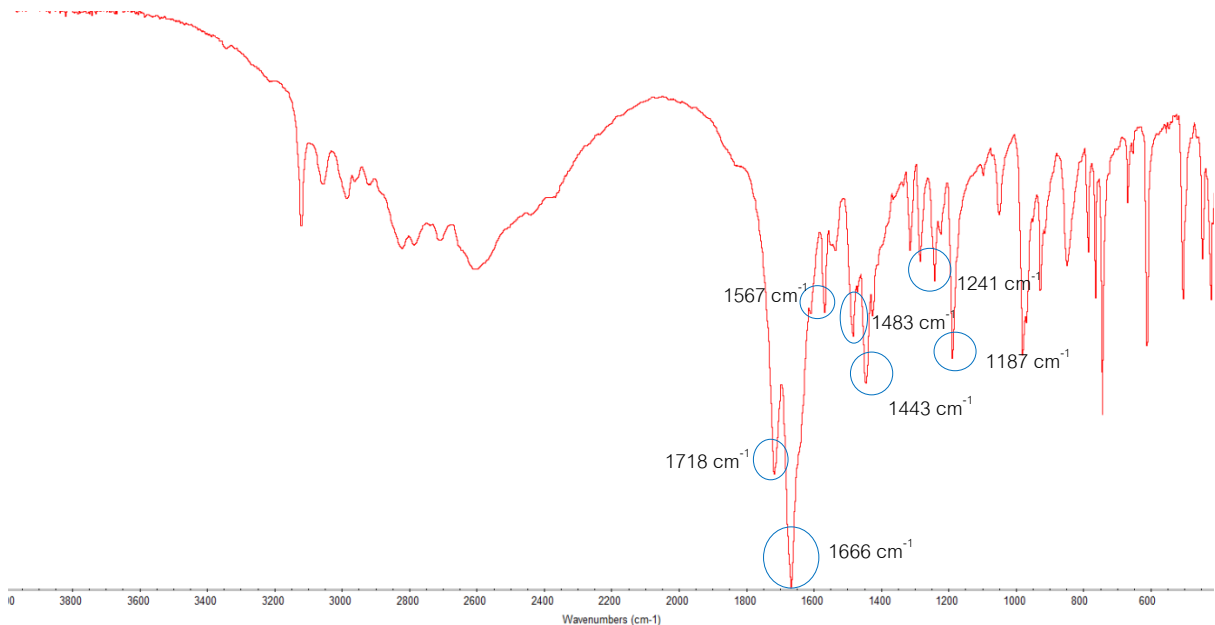
กำลังขยาย	แผ่นฟิล์ม
3500 เท่า	 <p>1 μm</p> <p>Mag = 3.50 K X WD = 11 mm EHT = 15.00 kV Signal A = SE1</p>
5000 เท่า	 <p>1 μm</p> <p>Mag = 5.00 K X WD = 11 mm EHT = 15.00 kV Signal A = SE1</p>

4.2.2 โครงสร้างของผลึกไม่เลกูลา yan แผ่นฟิล์มโดยใช้เครื่องทดสอบการเลี้ยวเบนของรังสีเอกซ์แบบผง (Powder x-ray diffraction)

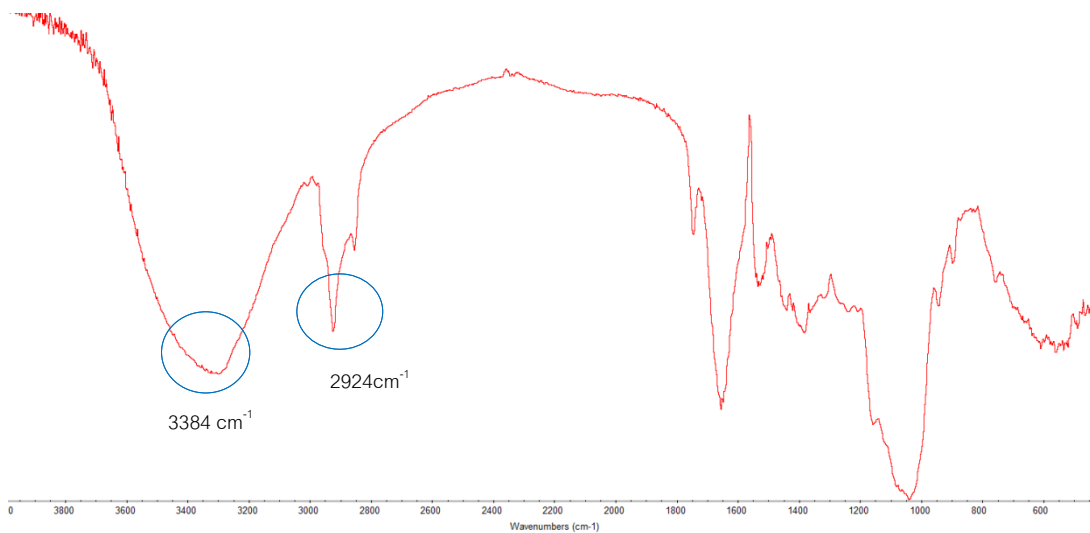


รูปที่ 20 แสดงค่า Degree (2θ) ของผงกัม ผงยา ผงกัมและยาพสมกัน แผ่นฟิล์ม และแผ่นฟิล์มที่พิมพ์ยา

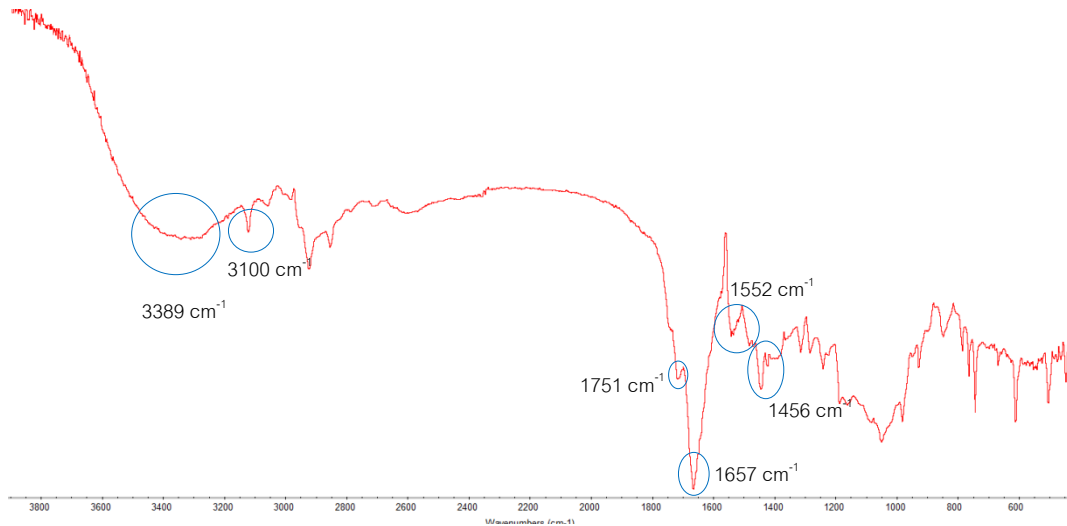
**4.2.3 ดูลักษณะโครงสร้างของยาทีโอพิลลินโดยใช้เครื่องอินฟราเรดสเปกโตรสโคปี
(Fourier transform infrared spectrometer)**



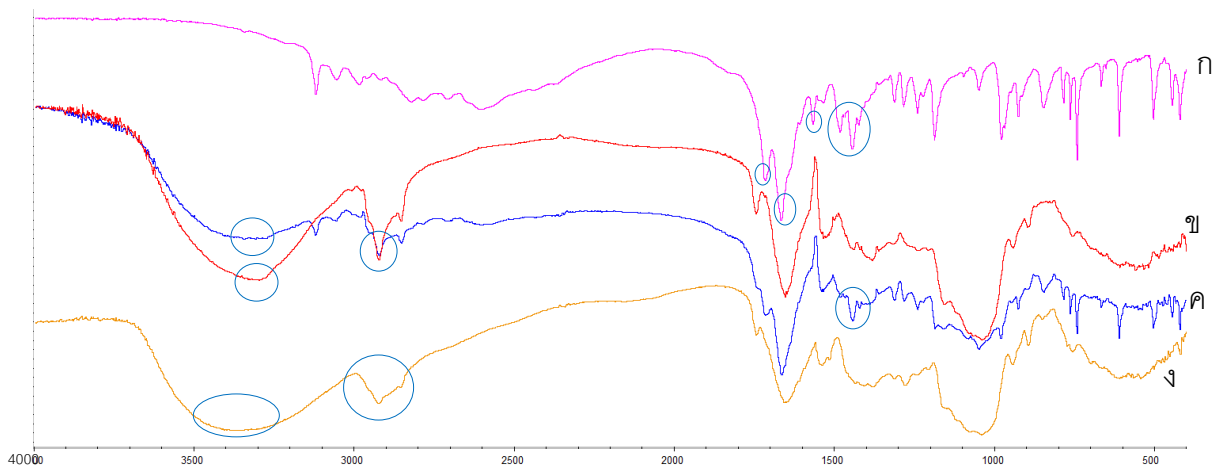
รูปที่ 21 แสดงผลการวิเคราะห์โครงสร้างของยาทีโอพิลลิน โดยใช้หลักการ FTIR



รูปที่ 22 แสดงผลการวิเคราะห์โครงสร้างของกัมจากมะขาม โดยใช้หลักการ FTIR



รูปที่ 23 แสดงผลการวิเคราะห์โครงสร้างของยาทีโอลีนสมกับกมจากมะขาม โดยใช้หลักการ FTIR



รูปที่ 24 แสดงผลการวิเคราะห์โครงสร้างของสาร โดยใช้หลักการ FTIR ก.แสดงถึงยาทีโอลีน ข.แสดงถึงกมจากมะขาม ค.แสดงถึงผงกมสมกับผงยา ง.แสดงถึงยาทีโอลีนที่ปรินท์ลงบนแผ่นพิมพ์ที่ได้จากการก้มจากมะขาม

4.2.4 ความหนาแห่งฟิล์ม (Thickness)

ตารางที่ 7 แสดงความหนาของแผ่นฟิล์มแต่ละตัวรับโดยวัดตำแหน่งที่ต่างกัน 9 ตำแหน่งบนแผ่นฟิล์ม แสดงผลเป็นค่า (Mean \pm SD)

สูตรตัวรับ	ความหนา (ไมโครเมตร)
F1 ก้มจากมะขามร้อยละ 3.5 โดยน้ำหนัก 100 : 0 ชอร์บิทอล	109.11 \pm 23.24
F2 ก้มจากมะขามร้อยละ 3.5 โดยน้ำหนัก 99 : 1 ชอร์บิทอล	106.56 \pm 30.63
F3 ก้มจากมะขามร้อยละ 3.5 โดยน้ำหนัก 97 : 3 ชอร์บิทอล	106.89 \pm 10.47
F4 ก้มจากมะขามร้อยละ 3.5 โดยน้ำหนัก 95 : 5 ชอร์บิทอล	109.11 \pm 18.74
F5 ก้มจากมะขามร้อยละ 4 โดยน้ำหนัก 97 : 3 ชอร์บิทอล	117.22 \pm 21.28
F6 ก้มจากมะขามร้อยละ 4.5 โดยน้ำหนัก 97 : 3 ชอร์บิทอล	131.33 \pm 30.71
F7 ก้มจากมะขามร้อยละ 5 โดยน้ำหนัก 97 : 3 ชอร์บิทอล	151.33 \pm 18.21

4.2.5 ความชื้นของแผ่นฟิล์ม (Moisture content)

ตารางที่ 8 แสดงร้อยละความชื้นของแผ่นฟิล์มในแต่ละตัวรับที่มีการเปลี่ยนแปลงความเข้มข้นก้มและอัตราส่วนของชอร์บิทอล (Mean \pm SD)

สูตรตัวรับ	ความชื้น(ร้อยละ)
F1 ก้มจากมะขามร้อยละ 3.5 โดยน้ำหนัก 100 : 0 ชอร์บิทอล	9.30 \pm 1.04
F2 ก้มจากมะขามร้อยละ 3.5 โดยน้ำหนัก 99 : 1 ชอร์บิทอล	9.29 \pm 0.25
F3 ก้มจากมะขามร้อยละ 3.5 โดยน้ำหนัก 97 : 3 ชอร์บิทอล	8.31 \pm 0.36
F4 ก้มจากมะขามร้อยละ 3.5 โดยน้ำหนัก 95 : 5 ชอร์บิทอล	7.49 \pm 0.62
F5 ก้มจากมะขามร้อยละ 4 โดยน้ำหนัก 97 : 3 ชอร์บิทอล	9.40 \pm 1.12
F6 ก้มจากมะขามร้อยละ 4.5 โดยน้ำหนัก 97 : 3 ชอร์บิทอล	9.71 \pm 1.57
F7 ก้มจากมะขามร้อยละ 5 โดยน้ำหนัก 97 : 3 ชอร์บิทอล	9.38 \pm 0.32

ตารางที่ 9 ตารางแสดง Post hoc การเปรียบเทียบความหนาเฉลี่ยของแผ่นฟิล์มของแต่ละสูตรตำรับโดยใช้สถิติ One-way anova

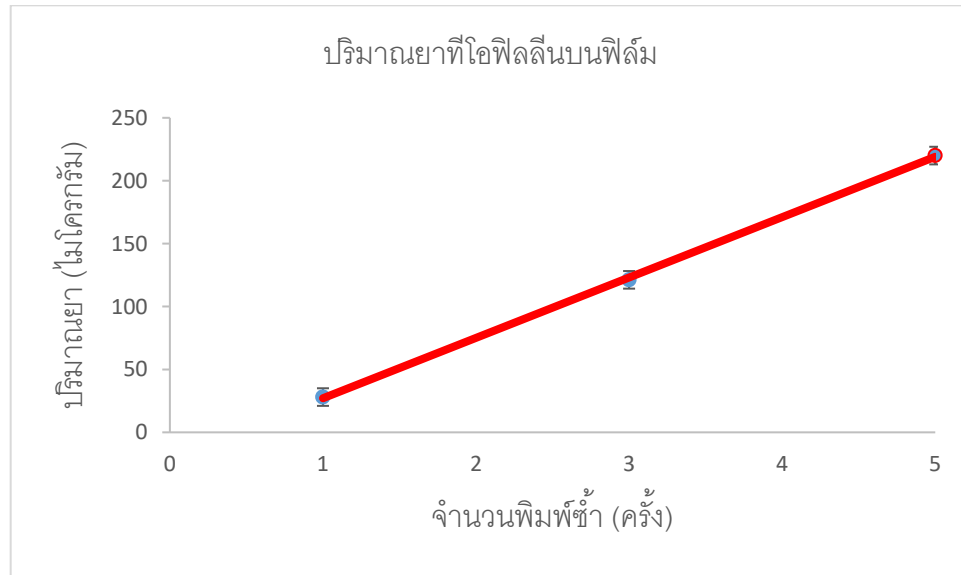
	Sum of Squares	df	Mean Square	F	Sig.
Between Groups	11.278	6	1.880	2.392	.084
Within Groups	11.001	14	.786		
Total	22.280	20			

4.2.6 การทดสอบระยะเวลาที่ฟิล์มแตกตัว (Disintegration time)

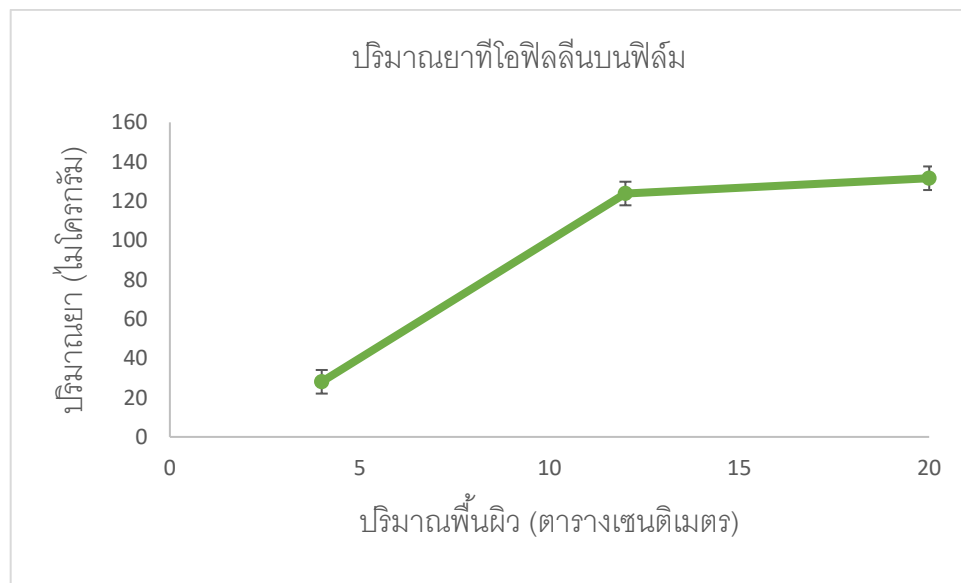
ตารางที่ 10 แสดงเวลาที่ใช้ในการแตกตัวของแต่ละตำรับที่เปลี่ยนแปลงความเข้มข้นของกัมจากมะขามและอัตราส่วนของซอร์บิทอล

สูตรตำรับ	ระยะเวลาที่ฟิล์มแตกตัว (นาที)
F1 กัมจากมะขามร้อยละ 3.5 โดยน้ำหนัก 100 : 0 ซอร์บิทอล	19.31 ± 0.88
F2 กัมจากมะขามร้อยละ 3.5 โดยน้ำหนัก 99 : 1 ซอร์บิทอล	11.16 ± 1.76
F3 กัมจากมะขามร้อยละ 3.5 โดยน้ำหนัก 97 : 3 ซอร์บิทอล	8.14 ± 0.98
F4 กัมจากมะขามร้อยละ 3.5 โดยน้ำหนัก 95 : 5 ซอร์บิทอล	9.33 ± 0.13
F5 กัมจากมะขามร้อยละ 4 โดยน้ำหนัก 97 : 3 ซอร์บิทอล	17.57 ± 3.24
F6 กัมจากมะขามร้อยละ 4.5 โดยน้ำหนัก 97 : 3 ซอร์บิทอล	> 30
F7 กัมจากมะขามร้อยละ 5 โดยน้ำหนัก 97 : 3 ซอร์บิทอล	> 30

4.2.7 ปริมาณยาบนแผ่นพิล์ม (Drug loading)

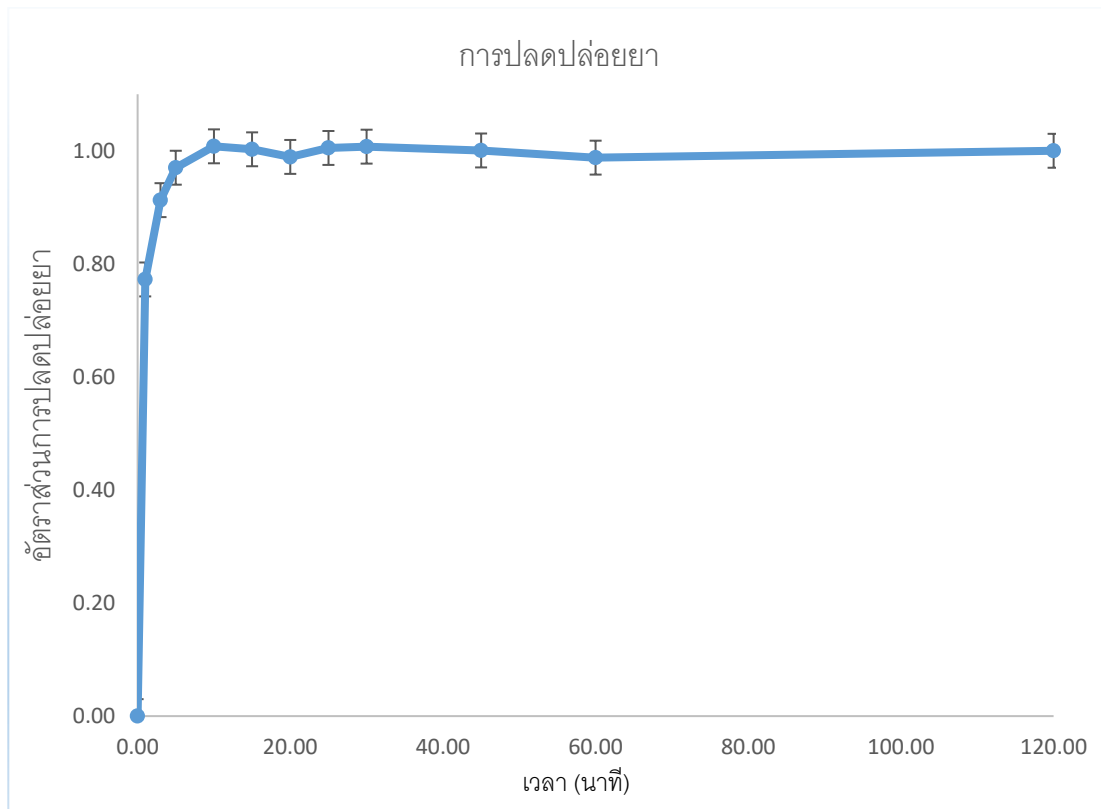


รูปที่ 25 แสดงปริมาณยาบนแผ่นพิล์มในการพิมพ์ 1, 3 และ 5 ช้ำ



รูปที่ 26 แสดงปริมาณยาบนแผ่นพิล์มในพื้นที่ผิว 4, 12 และ 20 ตารางเซนติเมตร

4.2.8 การปลดปล่อยยา (*In vitro* dissolution profile)



รูปที่ 27 แสดงอัตราส่วนการปลดปล่อยตัวยาเทียบกับเวลา (นาที)

ตารางที่ 11 แสดงอัตราส่วนการลดปล่อยไนโนทีต่าง ๆ เทียบกับนาทีที่ 120

เวลา (นาที)	อัตราส่วนการลดปล่อย
1	0.77 ± 0.16
3	0.91 ± 0.05
5	0.97 ± 0.07
10	1.01 ± 0.06
15	1.00 ± 0.03
20	0.99 ± 0.02
25	1.01 ± 0.04
30	1.01 ± 0.05
45	1.00 ± 0.05
60	0.99 ± 0.02
120	1.00 ± 0.00

บทที่ 5

สรุปและวิจารณ์ผลการวิจัย

5.1 ผลการวัดคุณสมบัติเชิงกลของแผ่นพิล์ม

คุณสมบัติเชิงกลของแผ่นพิล์มเปลี่ยนแปลงได้ตามอัตราส่วนของชอร์บิทอลและความเข้มข้นที่ต่างกันของกัมจากมะขามในส่วนของอัตราส่วนของชอร์บิทอลในตัวรับที่แตกต่างกัน (F1-F4) พบว่า อัตราส่วนของชอร์บิทอลที่มากขึ้นส่งผลให้แผ่นพิล์มมีค่ามอดูล์สความยืดหยุ่นที่ลดลง ดังแสดงในรูปที่ 16 ซึ่งแสดงถึงความแข็งที่ลดลงทำให้หักงอได้ง่ายขึ้น และมีค่าร้อยละการยืด ณ จุดแตกหักที่เพิ่มขึ้นซึ่งแสดงถึงความเนียนยวของแผ่นพิล์มที่เพิ่มขึ้น ในส่วนความเข้มข้นของกัมจากมะขามที่ต่างกัน (F3, F5, F6, F7) พบว่าเมื่อเพิ่มความเข้มข้นของกัมจากมะขามในตัวรับจะทำให้แผ่นพิล์มมีความเนียนยวที่น้อยลงและมีความแข็งที่เพิ่มขึ้นหักงอได้ยากดังแสดงในรูปที่ 17

การที่ปริมาณของชอร์บิทอลเพิ่มขึ้นในขณะที่ปริมาณกัมจากมะขามคงที่ทำให้ค่าความเดินของแผ่นพิล์มลดลงและค่ามอดูล์สความยืดหยุ่นที่ลดลงแต่ค่าร้อยละการยืด ณ จุดแตกหักเพิ่มขึ้น เนื่องมาจากผลของชอร์บิทอลที่ทำหน้าที่เป็นพลาสติกไชเซอร์ส่งผลต่คุณสมบัติเชิงกลของแผ่นพิล์ม โดยที่พลาสติกไชเซอร์จะล้อมรอบโมเลกุลของโพลิเมอร์ทำให้เกิดช่องว่างระหว่างโมเลกุลของโพลิเมอร์ ที่เชื่อมต่อกันโดยที่ชอร์บิทอลจะเกิดพันธะระหว่างช่องหูฟูกที่มีช่องหูฟูกของโพลิเมอร์และหูฟูกที่มีช่องหูฟูกของโมเลกุลชอร์บิทอล (36)

ในทางตรงข้ามกับการที่เพิ่มปริมาณกัมจากมะขามในขณะที่ปริมาณชอร์บิทอลคงที่ทำให้ค่าความเดินของแผ่นพิล์มและค่ามอดูล์สความยืดหยุ่นที่เพิ่มขึ้นค่าร้อยละการยืด ณ จุดแตกหักลดลง ดังแสดงในรูปที่ 17 เนื่องจากผลของปริมาณกัมจากมะขามที่มากขึ้นทำให้เพิ่มพันธะที่เชื่อมระหว่างโมเลกุลเกิดโครงร่างตาข่าย (Cross linking) ของโพลิเมอร์ด้วยกันเองและทำให้เกิด

โครงสร้างตามข่ายพอลิเมอร์ชนิดแทรกสอด (interpenetrating network) (36)

5.2 ผลคุณสมบัติทางเคมีและกายภาพ

5.2.1 การวิเคราะห์ลักษณะสัณฐานของแผ่นฟิล์มละลายในช่องปากโดยกล้องจุลทรรศน์อิเล็กตรอนแบบส่องกราด (Scanning Electron Microscope : SEM)

เมื่อทำการสังเกตแผ่นฟิล์มด้วยตาเปล่า แผ่นฟิล์มที่ได้จากสารละลายก้มความเข้มข้นร้อยละ 3.5 อัตราส่วนของซอร์บิทอล 3:97 มีสีน้ำตาลปอร์งแสงเด็กน้อย พื้นผิวส่วนใหญ่มีความเรียบและบางคล้ายแผ่นกระดาษแต่งขอบด้วยเหล็ก แผ่นฟิล์มที่ได้จะมีสองหน้า หน้าแรกมีความมันและเรียบเนื่องจากเป็นด้านที่ติดกับแม่พิมพ์ที่เป็นกระดาษ หน้าที่สองเป็นหน้าที่มีความด้านและบางส่วนมีรอยขุรขะของฟองน้ำจากกรรมวิธีการเตรียมขึ้นรูปแผ่นฟิล์ม คณะผู้วิจัยได้ใช้แผ่นฟิล์มหน้าที่มีความด้านในการพิมพ์ยาเนื่องจากพื้นผิวที่ขุรขะสามารถยึดเกาะอนุภาคยาได้ดีกว่าด้านที่มีความมัน และจากคุณสมบัติของก้มและซอร์บิทอลดังที่ได้กล่าวไว้ไปในข้างต้นทำให้แผ่นฟิล์มมีความยึดหยุ่นและง่ายกว่ากระดาษ ดังนั้นเวลานำไปใช้ในการพิมพ์งานต้องรองด้วยแผ่นพลาสติกเสมอเพื่อเสริมความแข็งแรงของแผ่นฟิล์มทำให้สามารถป้องกันการติดขัดของแผ่นฟิล์มกับเครื่องพิมพ์ได้

เมื่อทำการเปรียบเทียบพื้นผิวของแผ่นฟิล์มในแต่ละความเข้มข้นของก้มในตัวรับ (ร้อยละ 3.5, 4, 4.5, 5) ด้วยเทคนิคการใช้กล้องจุลทรรศน์แบบส่องกราดดังแสดงในรูปที่ 18 พบว่าพื้นผิวของแผ่นฟิล์มมีความขุรขะเพิ่มมากขึ้นตามความเข้มข้นของสารละลายก้มที่เพิ่มขึ้นโดยจากรูปจะสังเกตเห็นเกือดข้าวกระจายตัวอยู่ทั่วแผ่นฟิล์ม จากการสืบค้นข้อมูลพบว่าในปี 2553 (18) คณะวิศวกรรมภาควิชาเคมีมหาวิทยาลัยบูรพาได้ทำงานวิจัยเกี่ยวกับผงกมจากเม็ดมะขามที่มีการดัดแปลงนำไขมันและโปรตีนบางส่วนออกแล้วพบว่าแผ่นฟิล์มที่ได้มีความเรียบมากขึ้น เนื่องจากสารละลายก้มที่ใช้มีส่วนประกอบของโปรตีนและไขมันรวมอยู่ด้วย ซึ่งเป็นโมเลกุลที่ไม่ละลายน้ำ และแขวนลอยอยู่ในสารละลายก้มทำให้สารละลายมีความชุนและแผ่นฟิล์มที่ได้มีความขุรขะ

เมื่อทำการเปรียบเทียบพื้นผิวของแผ่นฟิล์มในแต่ละอัตราส่วนของชอร์บิทอลในตัวรับ (0:100, 1:99, 3:97, 5:95) ดังแสดงในรูปที่ 19 พบว่าแผ่นฟิล์มแต่ละแผ่นมีลักษณะภายนอกและความชุ่มชื้นที่ใกล้เคียงกันไม่มีความแตกต่างในแต่ละอัตราส่วนของชอร์บิทอล

เมื่อทำการสังเกตอนุภาคยาที่ยึดเกาะอยู่บนแผ่นฟิล์มทั้งในแนวระนาบดังแสดงในตารางที่ 5 และแนวตัดขวางดังแสดงในตารางที่ 6 โดยในแนวระนาบ เป็นการเปรียบเทียบลักษณะของพื้นผิว ระหว่างแผ่นฟิล์มที่ผ่านการพิมพ์ยา (D) และแผ่นฟิล์มที่ไม่ได้ผ่านการพิมพ์ยา (F) พบว่าแผ่นฟิล์มที่ผ่านการพิมพ์ยาจะมีความชุ่มชื้นและเสี้ยนมากกว่าแผ่นฟิล์มที่ไม่ได้ผ่านการพิมพ์ยาเล็กน้อย ส่วนในแนวตัดขวาง (ตารางที่ 6) เป็นการดูขั้นของอนุภาคยาที่ยึดเกาะอยู่บนแผ่นฟิล์ม พบร่วมกัน สามารถสังเกตเห็นขั้นของอนุภาคยาที่ถูกดูดซับอยู่บนขั้นแผ่นฟิล์ม (D1) และสังเกตเห็นยาบางส่วนถูกดูดซึมเข้าไปในแผ่นฟิล์ม (D2) ได้

5.2.2 โครงสร้างของผลึกโมเลกุลยาบนแผ่นฟิล์มโดยใช้เครื่องทดสอบการเลี้ยวเบนของรังสีเอกซ์แบบผง (Powder x-ray diffraction)

จากรูปที่ 20 จะเห็นว่าเมื่อนำผงยาที่โอดิลีนไปวัดการเลี้ยวเบนของรังสีเอกซ์จะเห็นพีคที่ชัดเจนที่ตำแหน่ง 73° , 361° และ 1009° กราฟของก้มมีลักษณะพีคที่ไม่ชัดเจน และเมื่อนำผงยาที่โอดิลีนผสมกับผงกัมจากมะขามแล้วนำไปวัดการเลี้ยวเบนของรังสีเอกซ์ ก็ยังเห็นพีคเล็กน้อยในตำแหน่งเดียวกับยาที่โอดิลีน แต่เมื่อนำยาพิมพ์ลงบนแผ่นฟิล์มกัมจากมะขามแล้วนำไปวัดการเลี้ยวเบนของรังสีเอกซ์พบว่าไม่เห็นพีคของยาเลย จากที่ผลเป็นเช่นนี้อาจเกิดจากโมเลกุลผงยาที่โอดิลีนนั้นมีภาวะพหุสัณฐาน (Polymorphism) เป็นรูปแบบผลึก (Crystalline form) แต่หลังจากนำยาที่โอดิลีนไปพิมพ์ลงบนแผ่นฟิล์มกัมจากมะขามแล้ว โมเลกุลของยาที่โอดิลีนได้เปลี่ยนเป็นรูปแบบอสัณฐาน (Amorphous form) ดังนั้นเมื่อนำไปวัดการเลี้ยวเบนรังสีเอกซ์จึงไม่พบพีคของผลึกยาที่โอดิลีนบนแผ่นฟิล์มเลย โดยที่การกล่าวเป็นรูปแบบอสัณฐานนั้นจะส่งผลให้การละลายน้ำของยาดี

ขึ้น เมื่อพิจารณาผลของการปลดปล่อยตัวยา (Dissolution) จะเห็นว่ายาสามารถละลายออกมากได้ตั้งแต่นาทีที่ 1 ซึ่งสอดคล้องกัน

5.2.3 ดูลักษณะโครงสร้างของยาที่โอฟิลลินโดยใช้เครื่องอินฟราเรดสเปคเตอร์สโคป (Fourier transform infrared spectrometer)

จากรูปที่ 21 แสดงค่าที่ทดสอบหมู่พังก์ชันสเปคตราของยาที่โอฟิลลินโดยผงของยาที่โอฟิลลินแสดงพีคเด่นที่ตำแหน่งช่วง $1800-1150\text{ cm}^{-1}$ ได้แก่พีคที่ตำแหน่ง 1666 cm^{-1} พีคที่ตำแหน่ง 1718 cm^{-1} ซึ่งแสดงถึง C=O Stretch จากหมู่คาร์บอนิล พีคที่ตำแหน่ง 1567 cm^{-1} แสดงถึง C=C Stretch จากแอลกีน พีคที่ตำแหน่ง 1483 cm^{-1} แสดงถึง C=N Stretch พีคที่ตำแหน่ง 1443 cm^{-1} แสดงถึง C-H Bending จากแอลเคน พีคที่ตำแหน่ง 1241 cm^{-1} แสดงถึง C-N Vibration และพีคที่ตำแหน่ง 1187 cm^{-1} แสดงถึง C-O Vibration ดังนั้นจากผลค่าทดสอบหมู่พังก์ชัน แสดงถึงส่วนประกอบต่างๆ ของโครงสร้างที่โอฟิลลิน จากรูปที่ 22 แสดงค่าทดสอบหมู่พังก์ชันสเปคตราของกัมดิบจากเม็ดมะขามโดยผงกัมดิบแสดงพีคเด่นที่ตำแหน่งในช่วง $4000 - 2000$ ได้แก่พีคที่ตำแหน่ง 3384 และ 2924 cm^{-1} แสดงถึง O-H Stretch จากแอลกอฮอล์ที่เป็นลักษณะเฉพาะของสารกลุ่มไกලโคลิค และ C-H Stretch จากแอลเคนตามลำดับ จากรูปที่ 23 แสดงให้เห็นว่า พบพีคที่เด่นในตำแหน่งของกัมจากมะขามและพีคที่เด่นของยาที่โอฟิลลินซึ่งแสดงให้เห็นว่ากัมจากมะขามและยาไม่ทำปฏิกิริยาต่อกัน จากรูปที่ 24 แสดงการวิเคราะห์หาโครงสร้างของสาร โดยใช้หลักการ FTIR เส้น ง. แสดงถึงยาที่โอฟิลลินที่ปรินท์ลงบนแผ่นพิล์มที่ได้จากการทดสอบพิล์มที่สำคัญของกัมจากมะขาม แต่ไม่พบพีคตำแหน่งที่สำคัญของยาที่โอฟิลลิน อาจเนื่องมาจากการปริมาณยาที่โอฟิลลินที่สามารถพิมพ์ลงบนแผ่นพิล์มได้มีปริมาณที่น้อย (37)

5.2.4 ความหนาแห่งพิล์ม (Thickness)

ความหนาของแผ่นพิล์มที่เหมาะสมทำให้เกิดความสัมภากในกระบวนการพิมพ์ยา การพอกพา และการใช้งานของผู้ป่วย จากผลการทดลองดังแสดงในตารางที่ 7 พบว่าความหนาของแผ่นพิล์มเปรียบเทียบกับความเข้มข้นของกัมที่ใช้ในแต่ละสูตรต่อรับโดยมีช่วงความหนา 106.56 – 151.33 ไมโครเมตร ซึ่งพบว่าความหนาของแผ่นพิล์มจะเพิ่มขึ้นตามปริมาณความเข้มข้นของกัม ดังแสดงในตารางที่ 7 โดยสูตรต่อรับที่หนาที่สุดคือกัมจากมะขามร้อยละ 5 โดยน้ำหนัก 97:3 ชอร์บิทอล เนื่องจาก สูตรต่อรับนี้มีปริมาณกัมมากที่สุดทำให้มีเนื้อกัมมากที่สุดทำให้ได้ความหนามากที่สุด แต่ไม่สัมพันธ์ กับอัตราส่วนของชอร์บิทอลที่เพิ่มขึ้น อาจเป็นเพราะมีปริมาณในต่อรับน้อยและจากคุณสมบัติของสาร เสริมสภาพพลาสติกที่แทรกตัวอยู่ระหว่างโมเลกุลของกัมจึงให้ผลการทดลองที่ไม่แตกต่างกัน ซึ่งให้ผล ตรงกับงานวิจัยของ Roy Amitava และคณะในปี 2009 (38) ค่าความเบี่ยงเบนมาตรฐานที่มากแสดง ถึงไม่ความสม่ำเสมอของความหนาแต่ละตำแหน่งบนแผ่นพิล์ม ซึ่งความไม่สม่ำเสมอเกิดได้จาก กรรมวิธีการขึ้นรูปแผ่นพิล์ม พองน้ำที่เกิดขึ้น และความชื้นในต่อรับ ความชื้นที่มาก ไม่ได้ส่งผลต่อปริมาณยาที่พิมพ์ลงบนแผ่นพิล์ม

5.2.5 ความชื้นของแผ่นพิล์ม (Moisture content)

ผลร้อยละความชื้นที่ได้แสดงถึงปริมาณความชื้นที่แทรกตัวอยู่ในเนื้อพิล์ม ความชื้นที่มาก ส่งผลถึงความคงตัวของยาในต่อรับ จากผลการทดลอง (ตารางที่ 8) สามารถบ่งบอกถึงคุณสมบัติการ ชوبน้ำหรือการดูดความชื้นของแต่ละต่อรับที่มีการเปลี่ยนแปลงความเข้มข้นของกัมและอัตราส่วนของ ชอร์บิทอล พบร่วมกับอัตราส่วนของชอร์บิทอล (F1-F4) และความเข้มข้นของกัมที่ใช้ในการทดลองมีค่า ความชื้นที่ใกล้เคียงหรือไม่ต่างกันอย่างมีนัยสำคัญทางสถิติตั้งตารางที่ เหตุที่เป็นเช่นนี้คาดว่า ปริมาณกัมและปริมาณชอร์บิทอลในสูตรต่อรับต่าง ๆ แตกต่างกันไม่มากพอที่จะส่งผลถึงคุณสมบัติ การดูดความชื้นที่ต่างกันอย่างมีนัยสำคัญทางสถิติ

5.2.6 ระยะเวลาที่ฟิล์มแตกตัว (Disintegration time)

การศึกษาเวลาในการแตกตัวของแผ่นฟิล์มทำให้ทราบถึงระยะเวลาที่แผ่นฟิล์มสามารถคงรูปอยู่ในปากหรือระยะเวลาที่แผ่นฟิล์มเริ่มมีการละลาย โดยตัวรับแผ่นฟิล์มละลายในช่องปากควรมีระยะเวลาการแตกตัวที่รวดเร็วเพื่อหวังผลละลายในช่องปาก จากผลการทดลองพบว่าระยะเวลาที่ใช้ในการแตกตัวของแผ่นฟิล์มมีความสัมพันธ์กับความเข้มข้นของกัมและอัตราส่วนของชอร์บิทอลในตัวรับ โดยพบว่าสูตรตัวรับที่ใช้ระยะเวลาในการแตกตัวน้อยที่สุดคือสูตร F3 และสูตรตัวรับที่ใช้ระยะเวลาในการแตกตัวนานที่สุดคือ F6 และ F7 ดังแสดงในตารางที่ 10 โดยเมื่อเพิ่มอัตราส่วนของชอร์บิทอลในตัวรับจะทำให้แผ่นฟิล์มมีการแตกตัวได้เร็วมากขึ้น (F1-F4) เนื่องจากชอร์บิทอลไม่เลกุลที่มีหมู่ไฮดรอกซีล้อมรอบสามารถละลายนำได้ดี เมื่อเพิ่มปริมาณในตัวรับชอร์บิทอลจะเข้าไปแทรกระหว่างโมเลกุลโพลิเมอร์ของกัมทำให้โมเลกุลของกัมทำพันธะได้น้อยลง จึงส่งผลให้ละลายนำได้มากขึ้น ซึ่งให้ผลตรงข้ามกับการเพิ่มความเข้มข้นของกัมในตัวรับโดยมีผลทำให้แผ่นฟิล์มมีระยะเวลาในการแตกตัวนานมากขึ้น (F3, F5, F6, F7) เนื่องจากเมื่อเพิ่มความเข้มข้นของสารละลายกัมจะเกิดการทำพันธะระหว่างโมเลกุลของโพลิเมอร์แน่นมากขึ้นทำให้เกิดการละลายนำได้น้อยลง อีกทั้งกัมจะก่อเจลเมื่อสัมผัสถกันนำทำให้ขัดขวางการละลายของแผ่นฟิล์ม (18) นอกจากนี้ระยะเวลาที่ใช้ในการแตกตัวของแผ่นฟิล์มยังมีความสัมพันธ์กับความหนาของแผ่นฟิล์ม โดยสูตรที่มีความหนาที่สุด (F7) จะมีระยะเวลาที่ใช้ในการแตกตัวของแผ่นฟิล์มนานที่สุดดังตารางที่ 10

5.2.7 ปริมาณยาที่โอลีนบันแผ่นฟิล์ม (Drug loading)

จากรูปที่ 25 แสดงให้เห็นถึงปริมาณยาบนแผ่นฟิล์มเมื่อทำการพิมพ์ยา 1, 3 และ 5 ชั้นบันแผ่นฟิล์มขนาด 2×2 ตารางเซนติเมตร ปริมาณยาจะเพิ่มขึ้นในสัดส่วน 3 และ 5 เท่า ตามลำดับ จึงสามารถบอกได้ว่าเครื่องพิมพ์มีความแม่นยำในการพิมพ์ และสามารถพิมพ์ช้ำได้ถึง 5 ช้ำโดยที่มีความแม่นยำในการพิมพ์อยู่ จากรูปที่ 26 แสดงให้เห็นถึงปริมาณยาบนแผ่นฟิล์มเมื่อทำการเพิ่มปริมาณพื้นที่ผิวของแผ่นฟิล์มที่ใช้ในการพิมพ์ยาจะเห็นว่าเมื่อเพิ่มปริมาณพื้นที่ผิวจาก 2×2 ตารางเซนติเมตร

เป็น 4x3 ตารางเซนติเมตร ปริมาณยาที่พับเพิ่มขึ้น 4 เท่าซึ่งสอดคล้องกัน แต่เมื่อเพิ่มปริมาณพื้นที่ผิวในการพิมพ์ยาเป็น 4x5 ตารางเซนติเมตร พบร่วม ปริมาณยาเพิ่มขึ้นมาใกล้เคียงกับพื้นที่ผิว 4x3 ตารางเซนติเมตร

จากการทดสอบปริมาณยาที่โอลิลินบนแผ่นฟิล์ม เมื่อทำการพิมพ์ข้าหลาย ๆ ครั้งและเพิ่มพื้นที่ผิวในการพิมพ์ทำให้ทราบว่าเทคนิคการพิมพ์ยา เมื่อทำการพิมพ์ข้าบปริมาณยาจะเพิ่มขึ้นเป็นจำนวนเท่าที่พิมพ์ข้า แต่เมื่อเพิ่มพื้นที่ผิวในการพิมพ์พบว่าปริมาณยาจะเพิ่มได้慢นยำถึงปริมาณพื้นที่ผิว 4x3 ตารางเซนติเมตร ถ้าเพิ่มพื้นที่ผิวมากกว่านี้ปริมาณยาคงไม่เพิ่มขึ้นตามที่ควรจะเป็น

5.2.8 การปลดปล่อยตัวยา (*In vitro* dissolution profile)

เมื่อนำปริมาณยาที่ปลดปล่อยออกมานะในช่วงเวลาต่าง ๆ เปรียบเทียบกับช่วงเวลา 2 ชั่วโมง ได้ออกมาเป็นอัตราส่วนตามตารางที่ 11 จะเห็นว่ายาถูกปลดปล่อยออกมาย่างรวดเร็วตั้งแต่นาทีที่ 1 และปลดปล่อยเมื่อเทียบกับนาทีที่ 120 ด้วยสัดส่วนคงที่ตั้งแต่นาทีที่ 3 จนถึงนาทีที่ 120 โดยเมื่อวิเคราะห์เป็นแล้วพบว่ามียาปลดปล่อยออกมาริดเป็นร้อยละ 52.23 ± 2.47 เมื่อเทียบกับปริมาณยาจากแผ่นฟิล์มขนาด 2x2 ตารางเซนติเมตรที่พิมพ์ยาข้า 5 ครั้งเหมือนกัน จากค่าที่ได้ทำให้ทราบว่าฟิล์มก้มจากมะขามมีการปลดปล่อยยาทันทีตั้งแต่นาทีแรกและคงที่อย่างรวดเร็วตั้งแต่นาทีที่ 3 แต่เมื่อถึงนาทีที่ 120 นั้น แผ่นฟิล์มยังแตกตัวไม่หมด อาจมียาบางส่วนยังอยู่ในแผ่นฟิล์มจึงทำให้มียาออกมาก่อร้อยละ 52.23 ± 2.47

5.3 สรุปผลการวิจัยและข้อเสนอแนะ

จากการทดลองสามารถสรุปได้ว่า ก้มจากเม็ดมะขามในปริมาณความเข้มข้นที่เหมาะสมสามารถนำมาใช้เป็นพอลิเมอร์ในตัวรับแผ่นฟิล์มละลายในช่องปากโดยสามารถใช้เทคโนโลยีการพิมพ์สองมิติในการบรรจุยาที่โอลิลินบนแผ่นฟิล์ม โดยพบว่าตัวรับของฟิล์มที่มีความเข้มข้นของก้มจากมะขามร้อยละ 3.5 โดยน้ำหนักและอัตราส่วนของซอร์บิทอลร้อยละ 3 โดยน้ำหนัก สามารถเตรียมแผ่นฟิล์มที่คุณสมบัติเชิงกลที่เหมาะสม และสามารถละลายและปลดปล่อยยาในระยะเวลา

อันรวดเร็ว อย่างไรก็ตามเนื่องจากฟิล์มจากกัมมีคุณสมบัติก่อเจลได้ดี ส่งผลให้การทดสอบการแตกตัวด้วยเครื่องมือตามเกสช์ตั่มรับที่ใช้ทดสอบยาเม็ดอาจได้ผลการทดลองที่ถูกต้องตามการใช้งานจริงนอกจากนี้กัมจากเมล็ดมะขามยังพอกลิเมอร์จากธรรมชาติทำให้ต้องคำนึงถึงความคงตัวของฟิล์มหากเก็บไว้ระยะยาว จากงานวิจัยนี้แสดงให้เห็นถึงความเป็นไปได้ในการพัฒนาฟิล์มจากกัมเมล็ดมะขามเป็นแผ่นรองรับในการพิมพ์ยาแบบสองมิติเพื่อใช้เตรียมแผ่นฟิล์มแตกตัวในช่องปาก ในอนาคตสามารถนำมาพัฒนาต่อได้ด้วยการทดสอบความคงตัวของยานานแผ่นฟิล์มในตัวรับ เพื่อให้เกิดความเหมาะสมสมต่อการนำมายังในอนาคตมากยิ่งขึ้น

ເອກສາຮອ້າງອີງ

1. Buanz AB, Saunders MH, Basit AW, Gaisford S. Preparation of personalized-dose salbutamol sulphate oral films with thermal ink-jet printing. *Pharmaceutical research.* 2011;28(10):2386-92.
2. Planchette C, Pichler H, Wimmer-Teubenbacher M, Gruber M, Gruber-Woelfler H, Mohr S, et al. Printing medicines as orodispersible dosage forms: Effect of substrate on the printed micro-structure. *International Journal of Pharmaceutics.* 2016;509(1–2):518-27.
3. Genina N, Fors D, Vakili H, Ihlainen P, Pohjala L, Ehlers H, et al. Tailoring controlled-release oral dosage forms by combining inkjet and flexographic printing techniques. *European Journal of Pharmaceutical Sciences.* 2012;47(3):615-23.
4. Patrick Cooley DW, Bogdan Antohe, MicroFab Technologies, Inc. Applications of Ink-Jet Printing Technology to BioMEMS and Microfluidic Systems. *SPIE Conference on Microfluidics and BioMEMS.* 2001:1-11.
5. Sandler N, Maattanen A, Ihlainen P, Kronberg L, Meierjohann A, Viitala T, et al. Inkjet printing of drug substances and use of porous substrates-towards individualized dosing. *J Pharm Sci.* 2011;100(8):3386-95.
6. Buanz ABM, Belaunde CC, Soutari N, Tuleu C, Gul MO, Gaisford S. Ink-jet printing versus solvent casting to prepare oral films: Effect on mechanical properties and physical stability. *International Journal of Pharmaceutics.* 2015;494(2):611-8.
7. Irfan M, Rabel S, Bukhtar Q, Qadir MI, Jabeen F, Khan A. Orally disintegrating films: A modern expansion in drug delivery system. *Saudi Pharmaceutical Journal.*
8. Fast dissolving oral films [Internet]. 2012 [cited 13 November 2016]. Available from: <http://www.slideshare.net/jaggu007/fast-dissolving-oral-films>.
9. El-Setouhy DA, Abd El-Malak NS. Formulation of a novel tianeptine sodium orodispersible film. *AAPS PharmSciTech.* 2010;11(3):1018-25.

10. Reeta Rani Thakur SN. ORALLY DISINTEGRATING PREPARATIONS: RECENT ADVANCEMENT IN FORMULATION AND TECHNOLOGY. *Journal of Drug Delivery & Therapeutics.* 2012; 2(3):87-96.
11. Kittiya Klahal JP, Wancheng Sittikijyothin, Rattanaphol Mongkholrattanasit. THICKENING AGENT BASED ON TAMARIND SEED GUM FOR DISPERSE PRINTING OF POLYESTER. *RMUTP International Conference.* 2012;1(1):1-6.
12. Guar gum [Internet]. 2004 [cited 13 November 2016]. Available from: <http://www.foodnetworksolution.com/wiki/word/1110/guar-gum-%E0%B8%81%E0%B8%B1%E0%B8%A7%E0%B8%81%E0%B8%B1%E0%B8%A1>
13. Sirikan N WS. Study on the Optimization of Extraction and Drying Methods on Physicochemical Properties of Tamarind (*Tamarindus indica L.*) Gum. *วารสารวิทยาศาสตร์และเทคโนโลยี.* 2015:1-56.
14. คุณสมบัติชีวเคมีและการประยุกต์ใช้ของเมล็ดมะขาม [Internet]. 2011 [cited 20 July 2016]. Available from: http://www.researchgate.net/profile/Maitree_Suttajit2/publication/257085368.
15. Kaur M, Sandhu KS, Kaur J. Pasting properties of Tamarind (*Tamarindus indica*) kernel powder in the presence of Xanthan, Carboxymethylcellulose and Locust bean gum in comparison to Rice and Potato flour. *Journal of Food Science and Technology.* 2013;50(4):809-14.
16. Madgulkar AR, Bhalekar MR, Asgaonkar KD, Dikpati AA. Synthesis and characterization of a novel mucoadhesive derivative of xyloglucan. *Carbohydr Polym.* 2016;135:356-62.
17. K. Khounvilay WS. Rheological behaviour of tamarind seed gum in aqueous solutions. *Food Hydrocolloids.* 2012;26(2):334-8.
18. กรณิการ ปัญญาภรณ์กิจ และนิพนธ์ กล้าตะกูล. ศึกษาปัจจัยที่มีผลต่อสารละลายของหัมมาเร็นกัมในน้ำโดยใช้วิธีการวัดค่าความขุ่นของสารละลาย. [วิทยานิพนธ์] ชลบุรี:มหาวิทยาลัยบูรพา. 2553.

19. Kulkarni D DD, Sarin JPS, Singh S. Tamarind seed polyose: A potential polysaccharide for sustained release of verapamil hydrochloride as a model drug. Indian J Pharm Sci. 1997;59:1-7.
20. Sougata Jana DL, Kalyan Kumar Sen, Sanat Kumar Basu. Development and Evaluation of Epichlorohydrin Cross-linked Mucoadhesive Patches of Tamarind Seed Polysaccharide for Buccal Application International Journal of Pharmaceutical Sciences and Drug Research. 2010; 2(3):193-8.
21. Mustafizur R CS. An assessment of traditional plasticizers and research trends to meet new challenges. Progress in Polymer Science. 2004; 29(12):1223-48.
22. MARK EHladHF. Principles of Plasticization American Chemical Society. 1965:1-24.
23. D-Sorbitol [Internet]. PubChem Compound Database. 2016 [cited 19 Nov 2016].
24. พิชญานิน เพชรล้อมทอง. Sugar and Sweetener: The Current Consumption Trend. วารสารเกษตรพัฒนา. 2008;32:1:77-86.
25. Theophylline [Internet]. 2016 [cited July 16]. Available from: <https://pubchem.ncbi.nlm.nih.gov/compound/theophylline#section=Chemical-and-Physical-Properties>.
26. Madarász J, Bombicz P, Czugler M, Pokol G. Comparison of theophyllinato Cu(II) complexes of ethanolamine and diethanolamine: Part 2. Structure and thermal study of the dimeric complex with diethanolamine. Polyhedron. 2000;19(4):457-63.
27. Amidon GL, Lennernas H, Shah VP, Crison JR. A theoretical basis for a biopharmaceutic drug classification: the correlation of in vitro drug product dissolution and in vivo bioavailability. Pharmaceutical research. 1995;12(3):413-20.
28. Liew KB, Tan YT, Peh KK. Characterization of oral disintegrating film containing donepezil for Alzheimer disease. AAPS PharmSciTech. 2012;13(1):134-42.
29. pharmaceutical M. Theolair. 1998 May. Report No.

30. Kolakovic R, Viitala T, Ihlainen P, Genina N, Peltonen J, Sandler N. Printing technologies in fabrication of drug delivery systems. *Expert Opin Drug Deliv.* 2013;10(12):1711-23.
31. Le HP. Progress and Trends in Ink-jet Printing Technology. IS&TThe Society for Imaging Science and Technology. 1997:1-10.
32. Yan Wang JB. Ultra-high-resolution monolithic thermal bubble inkjet print head. Society of Photo-Optical Instrumentation Engineers. 2007.
33. Elele E, Shen Y, Susarla R, Khusid B, Keyvan G, Michniak-Kohn B. Electrodeless Electrohydrodynamic Drop-on-Demand Encapsulation of Drugs into Porous Polymer Films for Fabrication of Personalized Dosage Units. *Journal of Pharmaceutical Sciences.* 2012;101(7):2523-33.
34. Genina N, Janßen EM, Breitenbach A, Breitkreutz J, Sandler N. Evaluation of different substrates for inkjet printing of rasagiline mesylate. *European Journal of Pharmaceutics and Biopharmaceutics.* 2013;85(3, Part B):1075-83.
35. ElMeshad AN, El Hagrasy AS. Characterization and optimization of orodispersible mosapride film formulations. *AAPS PharmSciTech.* 2011;12(4):1384-92.
36. Elgozali A HM. EFFECT OF ADDITIVES ON THE MECHANICAL PROPERTIES OF POLYVINYL CHLORIDE. *JSc Tech.* 2008; 9(1):1-11.
37. Florey K. Analytical Profiles of Drug Substances. The Squibb Institute for Medical Research New Brunswick.4:3-67.
38. Roy A, Ghosh A, Datta S, Das S, Mohanraj P, Deb J, et al. Effects of plasticizers and surfactants on the film forming properties of hydroxypropyl methylcellulose for the coating of diclofenac sodium tablets. *Saudi Pharmaceutical Journal.* 2009;17(3):233-41.